

Материалы с новыми функциональными свойствами

УДК 546.9+541.49+547.565'89: 57.036: 544.47'43+579.6+661.892+622+620.193.81+ 502.3 DOI: 10.25514/CHS.2024.1.26004

Сравнительная оценка состава и свойств соединений родия с супрамолекулами

E. B. Гусева $^{1 \bowtie}$, E. B. Фесик 2

¹Федеральное государственное бюджетное образовательное учреждение высшего образования Казанский национальный исследовательский технологический университет, Казань, Россия, e-mail: leylaha@mail.ru

²Федеральное государственное бюджетное образовательное учреждение высшего образования МИРЭА - Российский технологический университет, Москва, Россия

Поступила в редакцию: 27.03.2024 г.; после доработки: 09.04.2024 г.; принята в печать: 24.05.2024 г.

Аннотация — Представлены результаты исследований по сравнительной оценке влияния супрамолекул — каликс[4]резорцинов и дибензо-18-краун-6, функционализированных различными фрагментами (гидроксиэтокси-, фосфорил-, амино-, нитрогруппами) на состав продуктов, которые образуются при их взаимодействии с акватрихлоридом родия (III) и диакватетраацетатом диродия (II) в органических средах. Установлено, что выделение и состав продуктов определяется свойствами органической среды. Показана взаимосвязь между исследованными функциональными свойствами комплексных соединений, такими как каталитическая, бактерицидная и антиоксидантная активность, и их составом и строением. Исследованные закономерности влияния растворителей на выделение термодинамически стабильных продуктов в твердую фазу в виде супрамолекулярных комплексов родия разнообразного состава и строения открывает широкие перспективы для управления процессами минимизации потерь родия в отходах химической промышленности, связанной с соединениями, участвующими в катализе и проводимых в неводных органических средах.

Ключевые слова: родий, супрамолекулы, функционализированные каликс[4]резорцины, функционализированные дибензо-18-краун-6 эфиры, влияние растворителей, состав продуктов, взаимосвязь функциональных свойств и состава.

Materials with new functional properties

UDC 546.9+541.49+547.565'89: 57.036: 544.47'43+579.6+661.892+622+620.193.81+ 502.3 DOI: 10.25514/CHS.2024.1.26004

Comparative assessment of the composition and properties of rhodium compounds with supramolecules

Elena V. Guseva^{$l\boxtimes$}, and Elena V. Fesik²

¹Kazan National Research Technological University, Federal State Budget Educational Institution of Higher Education, Kazan, Russia, e-mail: leylaha@mail.ru

СРАВНИТЕЛЬНАЯ ОЦЕНКА СОСТАВА И СВОЙСТВ СОЕДИНЕНИЙ РОДИЯ

²«MIREA - Russian Technological University», Federal State Budget Educational Institution of Higher Education, Moscow, Russia

Received: March 27, 2024; Revised: April 9, 2024; Accepted: May 24, 2024

Abstract – The results of studies on the comparative assessment of the effect of supramolecules – calix[4]resorcins and dibenzo-18-crown-6 functionalized by various fragments (hydroxyethoxy-, phosphoryl-, amino-, and nitro groups) on the composition of products formed by their interaction with rhodium (III) aquatrichloride and diaquatetraacetate of dirodium (II) in organic environments. It has been established that the isolation and composition of products is determined by the properties of the organic medium. The relationship between the studied functional properties of complex compounds, such as catalytic, bactericidal and antioxidant activity, and their composition and structure is shown. The studied patterns of the influence of solvents on the release of thermodynamically stable products into the solid phase in the form of supramolecular rhodium complexes of various compositions and structures opens up broad prospects for controlling the processes of minimizing losses of rhodium in chemical industry waste associated with compounds involved in catalysis and carried out in non-aqueous organic media.

Keywords: rhodium, supramolecules, functionalized calix[4]resorcins, functionalized dibenzo-18-crown-6 esters, the effect of solvents, the composition of the products, the relationship of functional properties and composition.

ВВЕДЕНИЕ

Неизменный интерес к металлам платиновой группы и соединениям связан с обширной областью практического приложения, например, катализ [1] создание лекарственных препаратов [2] и т.д. Чаще используются комплексные соединения металлов платиновой группы [1, 3]. Свойства комплексных соединений зависят от взаимного влияния составляющих его частей – лиганда, иона-комплексообразователя лигандов И противоионов. Выбор дает возможность изменять свойство, что характерно ДЛЯ органических позволяющих проводить модификацию элементорганических лигандов, функциональных свойств за счет изменения природы И положения заместителей [4]. Одними из таких лигандов являются супрамолекулы, в частности, краун-эфиры (КЭ) и каликс[4]резорцины (КР). Функционализация бензосодержащих КЭ по фениленовым фрагментам или КР по нижнему и верхнему ободу его молекулы позволяет создавать полифункциональные супрамолекулы с различными свойствами [5, 6, 7, 8]. Супрамолекулярные комплексы на основе ионов металлов и функционализированных КР или КЭ представляют потенциальный интерес для создания веществ с набором различных качественно новых свойств [10, 11, 12]. Использование КР и КЭ в качестве экстрагентов позволяет разработать надежные методы извлечения металлов из сложных сред [13, 14]. В то же время использование больших молекулярных платформ повышает жидкофазных технологичность катализаторов, решая задачи гомогенного катализа [15, 16, 17].

Ранее, в ряде работ [18–30], получены и изучены комплексные соединения родия с функционализированными **КР** и **КЭ**. По результатам исследований сделан вывод, что значительное влияние на образование

стабильных продуктов, их выход и состав в реакциях с вышеозначенными лигандами оказывает природа растворителя. Растворитель конкурирует с ионами металлов за донорные центры и может образовать с участниками процесса различные связи, например, водородные.

Цель настоящей работы — провести сравнительную оценку состава новых функциональных соединений в зависимости от применяемых в реакциях растворителей, а также рассмотреть зависимость функциональных свойств новых соединений от состава и строения.

ЭКСПЕРИМЕНТАЛЬНАЯ ЧАСТЬ

Соединение $RhCl_3\cdot nH_2O$ (1) — акватрихлорид родия, (мелкодисперсный темно-красно-коричневый) получали из $RhCl_3\cdot 3H_2O$ — ACS reagent, Sigma-Aldrich, который представляет собой темно-красные расплывчатые кристаллы с температурой разложения ($T_{\text{разл.}}$) ~ $100^{\circ}C$.

Перед использованием RhCl₃·3H₂O осущали цеолитами в вакуумном эксикаторе. Характеристики соединения 1:

- $T_{\text{разл.}} \sim 800 870^{\circ} C$
- Электронные спектры поглощения (ЭСП), метанол, вода (МеОН, H_2 О), λ /нм: 225, 250, 375, 410, 440, 470, 510, 530 {перенос заряда металл-лиганд (ПЗМЛ), (d–d)-переходы или (d–d)} [31].
- ИК спектры (ИКС), v/см⁻¹: 329 (Rh–Cl) [32–33].

Соединение $[Rh_2(AcO)_4 \ 2H_2O]$ (2) — диакватетраацетат диродия(II) {зеленый} получали согласно [34]; Характеристики 2:

- Температура плавления $(T_{пл.}) = 105$ °C, $T_{paзл.} = 305$ °C;
- выход 50÷70%.
- Состав (%): С₈H₁₆O₁₆Rh₂. Найдено, %: С 20,07, Н 3,34, Rh 43,09.
 Вычислено, %: С 20,08; Н 3,35; Rh 43,10.
- ЭСП, МеОН, этанол (EtOH), H_2O , λ /нм: 223, 250 (ПЗМЛ, $Rh \rightarrow OH_2$); 446 [$\pi^*(Rh_2) \rightarrow \sigma^*(RhO)$]; 590 [$\pi^*(Rh_2) \rightarrow \sigma^*(Rh_2)$].
- ИКС, ν/cm^{-1} : 2935 (CH₃); 1586, 1584 (COO)_{as}; 1429, 1450 (COO)_s; 1414 δ_s(CH₃); 1357 δ_{as}(CH₃); 1042 δ_{as}(HCC); 1024 δ_s(HCC); 715 δ(OCO); 372, 386 (Rh–O)_{as}; 341 (Rh–O)_s; частоты аксиального лиганда OH₂ 3507, 3405, 3232, 1630. Спектр комбинационного рассеяния (СКР), ν/cm^{-1} : 300, 340 (Rh–Rh).

Перед использованием 2 осушали цеолитами.

Структурные формулы обсуждаемых лигандов и комплексных соединений родия подробно представлены в разделе «Результаты и их обсуждение». Ряд физико-химических характеристик синтезированных соединений представлены ранее, в работах [18–30]. Поскольку синтезируемые соединения сложны по составу и строению, то ряд их уточненных характеристик представлены в данной работе (см. ниже).

Протекание реакций контролировали методом тонкослойной хроматографии (TCX); индивидуальность продуктов подтверждали с помощью TCX, по T_{nn} продуктов реакции и исходных веществ. TCX проводили на пластинах "Silufol-UV-254" (254 нм), проявляя с помощью УФ облучения.

Также использовался метод колоночной хроматографии, которую проводили с использованием силикагеля (*марки Lancaster*) в качестве неподвижной фазы (диаметр частиц 0.035-0.070 мм, размер пор 60 Å).

Термическую устойчивость и индивидуальность соединений оценивали: методом дифференциальной сканирующей калориметрии TG/DSC (термоанализаторы SDT Q600 и TG–DSC1, «Metler Toledo», США, скорость нагрева в аргоне 10° /мин., интервалы 25– 300° С и 25– 450° С). Индивидуальность соединений также оценивалась методом рентгеновской дифракции (дифрактометр «Ultima IV», RIGAKU, Япония, CoK_{α} -излучение, графитовый монохроматор, $2\theta/\theta$ -сканирование, интервал $6^{\circ} \le \theta \le 60^{\circ}$, непрерывное сканирование со скоростью 1,5 град/мин по θ и шагом 0,02 град, X–Ray 40kV/40mA).

Химический анализ на содержание C, H, N, P выполняли на автоматических анализаторах: «EA 1108» («Carlo Erba», Италия), EA 1112 («Thermo Finnigan Italia S.p.A.» или «Carlo Erba»), хромато-масс-спектрометре газовом 5977В GC/MSD (Agilent Technologies); Cl – микроаналитическим методом; родия – рентгенофлуоресцентным методом на спектрометре СУР-02 РЕНОМ Ф1 (НТЦ Экспертцентр, Россия) либо на масс-спектрометре Elan-9000. Анализ на содержание Р выполнялся также спектрофотометрически на фотоколориметре «ФЭК-56М-У4-2» (Россия). Электропроводность растворов измеряли в соответствующих растворителях на кондуктометре «LM-301» (HYDROMAT, стандартная ячейка LM-300, Германия) либо на иономере мультитест ИПЛ-111. ИЛИ За нулевое значение принимали электропроводность используемого растворителя.

Для записи ИКС использовали Фурье-спектрометры «Vector 22» («Bruker», Германия, 4000–400 см⁻¹), «UFS 113V» («Bruker», Германия, 600–100 см⁻¹), EQUINOX 55 («Bruker Corporation», США, 4000–150 см⁻¹). Образцы соединений исследовались в виде эмульсии в осущенном вазелиновом масле при комнатной температуре либо исследовались растворы (ИК-Фурье-спектрометре «Spectrum BX II» Perkin Elmer, 3800–1600 см⁻¹). СКР регистрировали на ИК Фурье-спектрометре комбинационного рассеяния RAM II на базе VERTEX 70, лазер 1,064 мкм («Вruker», Германия); образцы помещались в алюминиевую фольгу.

Спектры электронного парамагнитного резонанса (ЭПР) регистрировали на спектрометре «SE/X–2544» («Radiopan», Венгрия) при 300К и 9,020 Ггц, при этом температуру ниже 248–183К создавали испарением жидкого азота; кристаллические образцы помещались в стеклянные капилляры. ЭСП в УФ- и видимой области регистрировали на спектрофотометрах «СФ–2000» (ОКБ СПЕКТР, Россия, 200–800 нм), двухлучевом UV-2600i (Shimadzu Corporation, Япония, 200–800 нм), «Specol-10» (Carl Zeisse, Германия, 350–700 нм) для растворов комплексов в зависимости от растворимости комплекса: растворы сравнения — используемый для раствора растворитель, концентрация веществ $1\cdot10^{-3} \div 1\cdot10^{-4}$ М, длина оптического слоя 10 мм; объемы кювет 1–3 мл. Определение размеров частиц осуществлялось на анализаторе частиц 90Plus/MAS (фирмы Brookhaven, длина волны лазера 635 нм).

ЯМР¹Н спектры исследовались на импульсном Фурье-спектрометре Bruker DPX-300 (Bruker, Германия) либо на спектрометре Bruker MSL-400» с рабочей частотой 400,13 МГц относительно сигналов остаточных протонов растворителя (¹H) с тетраметилсиланом (ТМС) в качестве внутреннего стандарта в дейтерированных растворителях {диметилсульфоксид (DMSO-d6), метиловый спирт (MeOH-d4), ацетон (Me₂CO-d6), хлороформ (CHCl₃-d) в зависимости от растворимости изучаемых комплексов. Отнесение сигналов при изучении спектров ЯМР¹Н фосфорсодержащих продуктов проводилось на основании совокупных данных ЯМР¹Н- и ЯМР¹Н(³¹Р)- спектроскопии при подавлении расщепления на фосфоре. Спектры ЯМР³¹Р регистрировали на приборе «Вruker MSL-400» с рабочей частотой 166,93 МГц, значения δ рассчитаны относительно внешнего стандарта (³¹Р) – 85% - ной H_3 РО4.

Лиганд **КР3** синтезирован авторами работы [35]. *Организацию молекул* **КР3** изучали с помощью ИКС и методом динамического светорассеяния (ДСР) в четыреххлористом углероде (CCl₄), хлороформе (CHCl₃), ацетоне (Me₂CO), диметилсульфоксиде (DMSO).

Соединение {**KP3•**4[RhCl₂]} (**3**) или октахлоро- μ -{4,6,10,12,16,18,22,24-октакис(2^{*}-гидроксиэтокси)-2,8,14,20-тетрапентилпентацикло[19.3.1.1^{3,7}.1^{9,13}. 1^{15,19}]октакоза-1(25),3,5,7(28),9,11,13(27),15,17,19(26),21,23-додекаен} тетрародий(III). Характеристики **3**:

- Состав, %: C₆₄H₉₆Cl₈O₁₆Rh₄. Найдено, %: С 42,51; Н 5,43; СІ 15,97; Rh 22,87. Вычислено, %: С 42,29; Н 5,29; СІ 15,64; Rh 22,69.
- Спектр ЯМР¹Н (DMSO–d6, MeOH–d4), δ/м.д.: группы каликсрезорциновой структуры 0,8894 м (12H, $-C\underline{H}_3$); 1,3358 м (24H, $-C\underline{H}_2$ –); 1,8171; 1,8318 д {8H, $-CH-C\underline{H}_2(CH_2)_3$ –}; 4,6185, 4,6369, 4,6552 уш. т (4H, $-C\underline{H}$ –); 6,7169-6,1998 (4H_A, 4H_B, $C_6\underline{H}_2$); группы функциональных группировок OCH₂CH₂OH 3,9439; 3,7403 уш. 2д (16H, $-OC\underline{H}_2$ –, 16H, $-C\underline{H}_2$ O–, 8H, O \underline{H} }.
- ИКС, ν/cm⁻¹: 3471 (OH); 2920, 2856 (CH₃, CH₂,), (CH)_{CH}; 1609, 1586 (Ar); 1456 $\{\delta_{as}(CH_3) + \delta_{as}(CH_2)\}; 1400,1300 \{\delta_s(CH_3) + \omega(CH_2), \delta(CH)_{CH}\}; 1286\{\tau(CH_2) + \delta(CH)_{CH} + (C_{AR}-O) + (Ar-OC)\}; 1196 (C_{AR}-O); 1160\{(Ar), (CH)_{CH}, (C_{AR}-O), (C-C), \delta(CH)_{AR}\}; 1123 ν_{as}(CCO)_{oxsi}; 1168 {(CCC)_{AR}, ν(C-C), (C_{AR}-O), (CH)_{CH}, δ(CH)_{AR} <math>^{IIII}\}; 1000 (CCO)_{AR}; 925, 895 \delta(CH)_{AR}; 818 \{(Ar), (COC), (C-C), \delta(CH)_{AR} <math>^{IIIII}\}; 731 \{\rho(CH_2) + \delta(CH)_{AR} ^{IIIII}\}; 590\{\delta(CCC)_{AR}, \delta(CCO)_{AR} + rot(Ar)\}; 555 (Rh-O)_{O-AR}; 428 (Rh-O)_{OH}; 332 (Rh-Cl_{term}); 270, 239 {(COC), (CCC), macrocyclic vibrations}.$
- CKP, ν, cm⁻¹: 3085 ν(CH)_{AR}; 2874, 2701 {ν(CH₃, CH₂), ν(CH)_{CH} }; 1614 ν(Ar); 1458 {δ_{as}(CH₃) + δ_{as}(CH₂)}; 1299 {δ_s(CH₃) + ω(CH₂), δ(CH)_{CH}}; 1166 {(CCC)_{AR}, (C–C), (C_{AR}–O), (CH)_{CH}, δ(CH)_{AR}^{ΠΠ}}; 747, 617 {ρ(CH₂) + δ(CH)_{AR}^{ΠΠ}}; 345 (Rh–Cl_{term}); 292, 175 {(COC), (CCC), macrocyclic vibrations}.

Для уточнения структур **КР3** и **3** согласно ИКС, СКР и ЯМР¹Н проведены квантовохимические расчеты модельных молекул в программе HyperChem [36] при полной оптимизация геометрии исследуемых молекулярных структур без ограничения по симметрии с использованием метода молекулярной механики (ММ+). Результаты рассчитанных значений двугранных ∠ОССО (ϕ , град) для:

а) **КР3** -172.9; 171.7; 178.6; 173.8; 176.5; 172.5; 172.9; 176.5 - (сред. 174.425); b) соединение **3**-176.2; 176.7; 177.4; 176.9; 170.1; 169.0; 173.6; 174.6 - (сред. 174.3125).

Лиганд **КР4** синтезирован авторами работы [37]. Соединение {**КР4'•**4(RhCl₄)•**КР4'**} (4): гексадекахлоро-бис-{(4,6,10,12, 16,18,22,24-октагидрокси-2,8,14,20-тетра[пара-(О-этил-О-гидрокси-фосфоноил)фенил]пентацикло[19.3.1.1^{3,7}.1^{9,13}.1^{15,19}]октакоза-1(25),3,5,7(28),9,11,13(27),15,17,19(26),21, 23-додекаен)} тетрародий(III). Характеристики **4**:

- Состав (%): C₁₂₀H₁₁₂Cl₁₆O₄₀P₈Rh₄. Найдено, %: С 42,14; Н 3,58; Сl 16,30; Р 7,21; Rh 12,06. Вычислено, %: С 42,11; Н 3,27; Сl 16,61; Р 7,25; Rh 12,05.
- Спектр ЯМР¹Н (DMSO-d6), δ/м.д.: 1,21; 1.24, 2т (12H, 12H, С<u>Н</u>₃); 3,95; 3,99, 2м (8H, 8H, С<u>Н</u>₂); 5,69 с (8H, С<u>Н</u>); 6,24 с (8H, *o*-С<u>Н</u>_{аром} С₆<u>Н</u>₂); 6,86 с (8H, *м*-С<u>Н</u>_{аром} С₆<u>Н</u>₂); 7,23, 7,25, 2д (8H, 8H, *o*-С<u>Н</u>_{аром}, С₆<u>Н</u>₄); 7,28, 7,30, 2д (8H, 8H, *м*-С<u>Н</u>_{аром}, С₆<u>Н</u>₄); 8,45, 8,52 уш. 2с (4H, 4H, О<u>Н</u>), 8,64, 8,93 уш. 2с (4H, 4H, О<u>Н</u>).
- Спектр ЯМР³¹Р, δ_{P} , 22,7.

Соединение {**KP4**·(Rh₂Cl₆)} (**5**): гексахлоро- μ -{(4,6,10,12,16,18,22,24-октагидрокси-2,8,14,20-тетра[пара-(О,О-диэтилфосфоноил)фенил]пентацикло [19.3.1.1^{3,7}.1^{9,13}.1^{15,19}]октакоза-1(25),3,5,7(28),9,11,13(27),15,17,19(26),21,23-додекаен)}диродий(III). Характеристики **5**:

- Состав (%): C₆₈H₇₆Cl₆O₂₀P₄Rh₂. Найдено, %: С 46,54; Н 4,29; Сl 12,16; Р 6,98; Rh 11,8. Вычислено, %: С 46,50; Н 4,33; Сl 12,14; Р 7,06; Rh 11,74.
- Спектр ЯМР¹Н (DMSO-d6), δ/м.д.: 1,25 т (24H, С<u>Н</u>₃); 3,98 м (16H, С<u>Н</u>₂); 5,69 с (4H, С<u>Н</u>); 6,18 с (4H, *o*-С<u>Н</u>_{аром} С₆<u>Н</u>₂); 6,87 с (4H, *м*-С<u>Н</u>_{аром} С₆<u>Н</u>₂); 7,32 д (8H, *o*-С<u>Н</u>_{аром}, С₆<u>Н</u>₄); 7,34 д (8H, *м*-С<u>Н</u>_{аром}, С₆<u>Н</u>₄); 8,54 уш. с (8H, О<u>Н</u>).
- Спектр ЯМР 31 Р, δ_{P} , 18,32. Масс-спектр: m/z 1755 [MM] 0 .

Соединение {**KP4**·2[Rh₂(AcO)₄]} (**6**): октаацетато- μ -{(4,6,10,12,16,18, 22,24-октагидрокси-2,8,14,20-тетра[пара-(О,О-диэтилфосфоноил)фенил]пентацикло[19.3.1.1^{3,7}.1^{9,13}.1^{15,19}]октакоза-1(25),3,5,7(28),9,11,13(27),15,17,19(26),21, 23-додекаен)} тетрародий(II). Характеристики **6**:

- Состав (%): С₈₄H₁₀₀O₃₆P₄Rh₄. Найдено, %: С 45,32; Н 4,12; Р 6,11; Rh 18,50. Вычислено, %: С 45,40; Н 4,50; Р 5,59; Rh 18,56.
- Спектр ЯМР¹Н (DMSO-d6), δ/м.д.: 1.23, 1. 27, 2т (12H, 12H, С<u>Н</u>₃); 2.2 с (12H, ^{Ac}С<u>Н</u>₃); 2,05 с (12H, ^{Ac}С<u>Н</u>₃); 3,95-3,98 м (16H, С<u>Н</u>₂); 5,67 с (4H, С<u>Н</u>); 6,18 с (4H, *o*-С<u>Н</u>_{аром} С₆<u>Н</u>₂); 6,87 с (4H, м-С<u>Н</u>_{аром} С₆<u>Н</u>₂); 7,31 д (8H, *o*-С<u>Н</u>_{аром}, С₆<u>Н</u>₄); 7,35 д (8H, м-С<u>Н</u>_{аром}, С₆<u>Н</u>₄); 8,36 уш. с (8H, О<u>Н</u>).
- Спектр ЯМР³¹Р, $\hat{\delta}_P$, 18,02 м.д.

Соединение {**KP4**·[Rh₂(AcO)₄]} (7): тетраацетато- μ -{(4,6,10,12, 16,18,22, 24-октагидрокси-2,8,14,20-тетра[пара-(О,О-диэтилфосфоноил)фенил]пентацикло[19.3.1.1^{3,7}.1^{9,13}.1^{15,19}]октакоза-1(25),3,5,7(28),9,11,13(27),15,17,19(26),21,23-додекаен)диродий(II). Характеристики 7:

- Состав (%): С₇₆H₈₈O₂₈P₄Rh₂. Найдено, %: С 52,52; Н 4,98; Р 7,12; Rh 11,59. Вычислено, %: С 51,29; Н 4,95; Р 6,97; Rh 11,59.
- Спектр ЯМР¹Н (DMSO-d6), δ/м.д.: 1,25 т (24H, СН₃); 2,1 с (12H, ^{Ac}СН₃); 3,98 м (16H, СН₂); 5,69 с (4H, СН); 6,18 с (4H, o-СН_{аром} С₆Н₂); 6,86 с (4H, м-СН_{аром} С

- $C_6\underline{H_2}$); 7,30, 7,33, 2д (4H, 4H, o-С \underline{H}_{apom} , $C_6\underline{H}_4$); 7,36, 7,38 2д (4H, 4H, m-С \underline{H}_{apom} , $C_6\underline{H}_4$); 8,52 уш. с (8H, O \underline{H}).
- Спектр ЯМР³¹Р, δ_P, 18,90 м.д. Масс-спектр: m/z 1778 [ММ]⁰.

Лиганд *транс*-4,4'-бис(диалкоксифосфорил)бифенил-18-краун-6 или *транс*-Д**БКЭ8** (Д**БКЭ8**) синтезирован авторами работы [38].

Соединение {[Rh₂(AcO)₄][(H₂O)₂(ДБКЭ8)][Rh₂(AcO)₄]}_n (8): октаацетато- μ -{(*транс*-4,4[/]-бис(диэтоксифосфорил)бифенил-18-краун-6(диаква)} тетрародий(II). Характеристики 8:

- Состав (%): С₄₄H₇₀О₃₀P₂Rh₄. Найдено, %: С 34,58; Н 4,29; Р 3,91; Rh 26,62. Вычислено, %: С 34,02; Н 4,51; Р 3,99; Rh 26,55.
- ЭСП (Me₂CO, MeOH), λ /нм: 220–240, 278, 285 {ПЗМЛ + (π \rightarrow π *), Rh \rightarrow OH₂}; 439 [π *(Rh₂) \rightarrow σ *(RhO)]; 585 [π *(Rh₂) \rightarrow σ *(Rh₂)].
- Спектр ЯМР¹Н (Me₂CO-d6), δ/м.д.: 0.84–0.87 м (5H, –OCH₂C<u>H₃</u>) 1.21–1.27 м (5H, –OCH₂C<u>H₃</u>); 1,632–1,634 д (2H, –OCH₂C<u>H₃</u>); 2.15 с (12H, С<u>H₃</u>); 2.01 с (12H, С<u>H₃</u>); 3,42–3,71 м (8H, –OC<u>H₂</u>CH₃; 4H, –OC<u>H₂</u>); 4,15–4,19 т (3H, OC<u>H₂</u>); 4,01–4,03 т (3H, –OC<u>H₂</u>); 2,84 с (H, –OC<u>H₂</u>); 2,41–2,43 м (4H, –OC<u>H₂</u>); 2,16 с (H, –OC<u>H₂</u>); 6,3–6,6 м (6H, Ar<u>H</u>); 4.95 уш. с (4H, <u>H₂</u>O).
- ИКС, ν/cm⁻¹: 3440 (O–H); 2981, 2930 {(CH)_{AR}, (CH₂, CH₃)}; 1637,1650 δ(H₂O); 1593, 1558, 1511 {(CC)_{Ar}+ν_{as}(COO)}; 1455, 1407 [δ(CH₂)+(P–Ar)+ν_s(COO)]; 1362, 1327 {ω(CH₂)+(P–Ar)}; 1263 ν_s(Ar–OC); 1223 {τ(CH₂)+(P=O)+ν_{as}(Ar–OC)}; 1127 ν_{as}(COC); 1050, 1048 δ(CH)^{IIII}_{AR}; 1023π, 959 {ν_s(COC) + (CC)_{CR}+ρ(CH₂)}; 867 {ν_{пульс}, ρ(CH₂) + (CO)}; 793 (P–C); 763, 675, 644 δ(CH)^{IIIII}_{AR}+δ(OCO)_{AcO}; 611, 582, 553, 487, 465, 414 {δ(COC) + δ(CCO)}; 524, 502 {δ(ArPO) + δ(CPO)}; 440 (Rh–O) _{P=O}; 343 ν_s(Rh–O) 382 ν_{as}(Rh–O). CKP, ν/cm⁻¹: 349, 300 cm⁻¹ (Rh–Rh).
- Спектр ЯМР³¹Р, δ_P , 18,01 м.д. Масс-спектр: m/z 1555 [ММ–2H₂O+K]⁺.

Соединение {[RhCl₄(OH₂)][(H₃O $^+$)₂(ДБКЭ8)][RhCl₄(OH₂)]}_n (8a): октахлородиаква- μ -{mpanc-4,4 $^-$ -бис(диэтоксифосфорил)бифенил-18-краун-6(дигидроксония)} диродий(III). Характеристики 8a:

- Состав (%): C₂₈H₅₂Cl₈O₁₆P₂Rh₂. Найдено, %: С 28,19; Н 4,39; Сl 23,50; Р 5,24; Rh 17,32. Вычислено, %: С 28,09; Н 4,35; Сl 23,75; Р 5,18; Rh 17,22.
- ЭСП (Me₂CO, MeOH), λ /нм: 276, 283 ($\pi \rightarrow \pi^*$); 430, 450, 470, 510, 530 {перенос заряда или ПЗ, (d–d)}.
- Спектр ЯМР¹Н (Me₂CO-d6), δ/м.д.: 0,86-0,89 м (5H, -OCH₂CH₃); 1,209-1,27 м (5H, -OCH₂CH₃); 1,632-1,634 д (2H, -OCH₂CH₃); 2,87 с (H, -OCH₂); 2,46-2,44 м (4H, -OCH₂); 2,18 с (H, -OCH₂); 3,45-3,74 м (8H, -OCH₂CH₃; 4H, -OCH₂); 4,04-4,06 т (3H, -OCH₂); 4,19-4,21 т (3H, -OCH₂); 6,6-6,9 м (6H, ArH); 10,87 уш. с (6H, H₃O⁺).
- MKC, ν/cm^{-1} : 3190, 3210 { $\nu_1+\nu_2$ ot (H₃O)⁺}; 2978, 2933 {(CH)_{AR}, (CH₂, CH₃)}; 1990, 2000; 1737, 1710 { $2\nu_2$, ν_4 ot (H₃O)⁺}; 1588, 1514 (CC)_{Ar}; 1440, 1415 {δ(CH₂) + (P-Ar)}; 1357, 1325 {ω(CH₂) + (P-Ar)}; 1263 ν_s (Ar-OC); 1224 {τ(CH₂) + (P=O) + ν_{as} (Ar-OC)}; 1126 ν_{as} (COC); 1044 δ(CH)^{III}_{AR}; 1020π, 962 { ν_s (COC) + (CC)_{CR} +ρ(CH₂)}; 846 { $\nu_{ny,libe}$, ρ(CH₂)+ (CO)}; 787 (P-C); 700

- $\delta(\text{CH})^{\text{HILT}}_{AR}$; 626,581,554, 427, 414 { $\delta(\text{COC})$ + $\delta(\text{CCO})$ }; 512 { $\delta(\text{ArPO})$ + $\delta(\text{CPO})$ }; 443 (Rh–O) $_{P=O}$; 329 (Rh–Cl $_{\text{term}}$).
- Спектр ЯМР³¹Р, δ_P , 14,79 м.д. Масс-спектр: m/z 1197 [ММ–2H₃O⁺+K]⁺.

Лиганды *цис*-4,3'-бис(динитро)бифенил-18-краун-6} или *цис*-ДБКЭ9 (ДБКЭ9) и *цис*-4,3'-бис(диамино)бифенил-18-краун-6} или цис-ДБКЭ10 (ДБКЭ10) синтезированы согласно [39], физико-химические характеристики которых совпадают с литературными данными [39].

Соединение {Д**БКЭ9·**[Rh₂(AcO)₄]·Д**БКЭ9**}_n·(n+2)H₂O·nEtOH (9): μuc -ди {4,3 '-бис(динитро)бифенил-18-краун-6}- μ -тетраацетатодиродий(II). Характеристики 9:

- Состав (%): $C_{48}H_{56}N_4O_{28}Rh_2$. Найдено, %: C 42,12; H 4,11; N 4,09; Rh 15,31. Вычислено, %: C 42,92; H 4,17; N 4,17; Rh 15,35.
- ЭСП (нитрометан или MeNO₂), λ /нм: 302 (нитрогруппа); 342 ($\pi \rightarrow \pi^*$, $n \rightarrow \pi^*$); 585, 530 [$\pi^*(Rh_2) \rightarrow \sigma^*(Rh_2)$]; 460, 446 [$\pi^*(Rh_2) \rightarrow \sigma^*(Rh-O)$].
- Спектр ЯМР¹Н (CHCl₃-d), δ /м.д.: 2,05 с (12H, $^{Ac}C\underline{H}_3$); 2,15 с ($-OC\underline{H}_2$; 2H); 2,41–2,48 м ($-OC\underline{H}_2$;8H); 2,64 с ($-OC\underline{H}_2$; 2H); 3,82-3,89 м ($-OC\underline{H}_2$; 8H); 4,16–4,18 т (6H; $-OC\underline{H}_2$); 4,06–4,08 т ($-OC\underline{H}_2$; 6H); 6,8–7,5 м (12H, Ar \underline{H}).
- ИКС, ν /см⁻¹: широкий колебат. контур (3750–3600); 3415 (ОН); 29233, 2823 δ (СН₂); 2354 ш.п. водород. связи; 1646; 1589, 1552, 1516, 1480 [(СС)_{AR} + ν _{AS}(СОО) + ν _{AS}(NO₂)]; 1455 δ (СН₂) + ν _S(СОО); 1342 ω (СН₂); 1250 [τ (СН₂)+ ν _S(NO₂)]; 1278 ν _S(Ar–OC); 1234 ν _{AS}(Ar–OC); 1138, 1097, 1057 [δ (ССН)_{AR}, ν _{AS}(СОС), (СС)_{CR}]; 997, 980, 972, 929 [ν _S(СОС) + (СС)_{CR} + ρ (СН₂) + (С-N)]; 900, 875, 807, 804 [ν _{пульс}, ρ (СН₂)+ (СО) + (С–N)]; 744, 723, 655, 593 [δ (СН)^{нпл}_{AR} + (С-N) + δ (СОС)+ δ (ОСО)_{AcO}]; 398 (Rh–O)_{нитро}.; 382 ν _{AS}(Rh–O); 332 ν _S(Rh–O). СКР, ν /см⁻¹: 347 (Rh–Rh).

Соединение {ДБКЭ10·[Rh₂(AcO)₄] ДБКЭ10}_n·(n+2)H₂O·nEtOH (10): μuc -ди-{4,3'-бис(диамино)бифенил-18-краун-6}}- μ -тетраацетатодиродий(II). Характеристики 10:

- Состав (%):C₄₈H₆₄N₄O₂₀Rh₂. Найдено, %: С 47,08; Н 5,19; N 4,53; Rh 16,85. Вычислено, %: С 47,14; Н 5,24; N 4,58; Rh 16,86.
- ЭСП (MeNO₂), λ , нм: 240, 300 (ПЗМЛ); 310 ($\pi \rightarrow \pi^*$, $n \rightarrow \pi^*$); 570, 535 [$\pi^*(Rh_2) \rightarrow \sigma^*(Rh_2)$], 465, 440 [$\pi^*(Rh_2) \rightarrow \sigma^*(Rh-O)$].
- Спектр ЯМР¹Н (CHCl₃-d), δ, м.д. 2.09 с (12H, ^{Ac}CH₃); 2.19 с (-OCH₂; 2H);
 2.39–2.46 м (-OCH₂; 8H); 2.74 с (-OCH₂; 2H); 3.82–3.89 м (-OCH₂; 8H); 3.98–4.01. т (-OCH₂; 6H); 4.06–4.08 т (-OCH₂; 6H); 6.05–6.51 м (12H, ArH); 7.19–7.43 м (8H, NH₂).
- ИКС, ν, cm⁻¹: 3358 ν_{AS}(NH); 3289 ν_S(NH); 3092 ν(CH₂)_{AR}; 2853, 2725 δ(CH₂); 1627; 1589, 1522, 1509 [δ(NH₂) + ν(CC)_{AR} + ν_{AS}(COO)]; 1485, 1456, 1415 δ(CH₂) + ν_S(COO); 1390, 1365 [ω(CH₂)+ ω(NH₂)]; 1290; 1280 τ(CH₂) + (C–N); 1239 ν_S(Ar–OC); 1190 ν_{AS}(Ar–OC); 1140, 1120, 1100, 1066; 1064, 1038 [δ(CCH)_{AR}, ν_{as}(COC) + τ(NH₂), (CC)_{CR}, δ(CCH)]; 999, 989, 960, 939, 910 [ν_S(COC) + (CC)_{CR} +ρ(CH₂) + τ(NH)]; 860, 835, 806, 786, 760 [ν_{пульс}, ρ(CH₂)+ (CO) + δ(CH)^{HIII}_{AR}]; 412 (Rh–N); 387 ν_{as}(Rh–O); 335 ν_S(Rh–O). CKP, ν/cм⁻¹: 347 (Rh–Rh).

Лиганды КР11-КР13 синтезированы авторами работ [40-41].

Соединение {**KP11·**4[Rh₂(AcO)₄]} (**11**): гексадекацетато- μ -{4,6,10,12, 16,18,22,24-октагид-рокси-2,8,14,20-тетракис(4-диметиламино)фенилпентацикло-[19.3.1.1^{3,7}.1^{9,14}.1^{10,15}]-октакоза-1(25),3,5,7(28),9,11,13(27),15,17,19(26),21,23-додекаен)} октародий(II). Характеристики **11**:

- Состав (%): $C_{92}H_{100}N_4O_{40}Rh_8$. Найдено, %: С 40,47; Н 3,81; N 2,05; Rh 30,21. Вычислено, %: С 40,53; Н 3,67; N 2,06; Rh 30,25.
- ЭСП (MeOH, DMSO), λ /нм: 230, 245, 288, 295 (n \to π^* , $\pi\to$ π^* , тетрамер (тетр.); 363, 398 (ПЗ); 470[$\pi^*(Rh_2)\to\delta^*(RhO)$]; 535, 500[$\pi^*(Rh_2)\to\sigma^*(Rh_2)$].
- Спектр ЯМР¹H(DMSO–d6), δ/м.д.: 2,05 с (24H, С<u>Н</u>₃-N-С_{аром}); 2,09–2,15 м (24H, ^{Ac}С<u>Н</u>₃); 2,2-2,3 м (24H, ^{Ac}С<u>Н</u>₃); 5,9–6,7 {(уш.с. 4H, С<u>Н</u>), (уш.с. 4H, м-СН_{аром},С₆H₂), (уш.с. 4H, *o*-СН_{аром},С₆H₂)}; 6,60 д (8H, м-С<u>Н</u>_{аром}, С₆<u>Н</u>₄); 6,67 д (8H, *o*-С<u>Н</u>_{аром}, С₆<u>Н</u>₄).
- ИКС, область 500–100 см⁻¹, v: 450 (Rh–O)_{REZ}; 344 ν_s (Rh–O); 382 ν_{as} (Rh–O). СКР, ν/c м⁻¹: 305, 345 (Rh–Rh).

Соединение $\{4\text{Me}_2\text{CO}\bullet\mathbf{KP12}\cdot2[\text{Rh}_2(\text{AcO})_4]\}\$ (12): октаацетатотетрадиметилкетон $\{(4,6,10,12,16,18,22,24\text{-октагидрокси-5},11,17,23\text{-тетракисдиметиламинометил-2},8,14,20\text{-тетра}[пара-толил] пентацикло [19.3.1.1³,7.1³,1³,1³,1³] октакоза-1(25),3,5,7(28),9,11,13(27),15,17,19(26),21,23-додекаен)\} тетрародий (II). Характеристики 12:$

- Состав (%): С₉₆H₁₂₄N₄O₂₈Rh₄. Найдено, %: С 51,87; Н 5,59; N 2,50; Rh 18,37. Вычислено (%): С 52,55; Н 5,66; N 2,55; Rh 18,8.
- − ЭСΠ (MeOH, DMSO), λ /HM: 233, 275, 290 {n→π*, π→π*, тетр.}; 310, 340, 385 (Π3); 435, 460, 485 [π*(Rh₂)→ σ*(RhO), σ*(RhN)]; 560, 570, 580 [π*(Rh₂)→σ*(Rh₂)].
- Спектр ЯМР¹Н (DMSO–d6), δ /м.д.: 2,01–2,09 м (24H, С<u>Н</u>₃–N–С); 2,12 с (12H, С_{аром}–С<u>Н</u>₃); 2,05–2,6 м (24H, ^{Ac}С<u>Н</u>₃; 24H, ^{Me2CO}С<u>Н</u>₃); 3,3-3,6 м (8H, С_{аром}–С<u>Н</u>₂– N); 5,9–6,7 {(уш. с. 4H, С<u>Н</u>), (уш.с. 4H, м-СН_{аром},С₆Н₂)}; 6,60 д (8H, м-С<u>Н</u>_{аром}, С₆<u>Н</u>₄); 6,67 д (8H, o-С<u>Н</u>_{аром}, С₆<u>Н</u>₄), 8,1 уш. с (4H, О<u>Н</u>); 7,55 уш. с (4H, О<u>Н</u>).
- ИКС, область 500–100 см⁻¹, v: 412 (Rh–N); 344 ν_s (Rh–O); 382 ν_{as} (Rh–O). СКР, $\nu/\text{см}^{-1}$: 300, 350 (Rh–Rh).

Соединение $\{4\text{Me}_2\text{CO}\cdot\mathbf{KP13}\cdot2[\text{Rh}_2(\text{AcO})_4]\}\$ (13): октаацетатотетрадиметилкетон $\{4,6,10,12,16,18,22,24$ -октагидрокси-5,11,17,23-тетракисдиэтиламинометил-2,8,14,20-тетра-[пара-фенил]пентацикло $[19.3.1.1^{3,7}.1^{9,14}.1^{10,15}]$ октакоза-1(25),3,5,7(28),9,11,13(27),15,17,19(26),21,23-додекаен $\}$ тетрародий(II). Характеристики 13:

- Состав (%): $C_{100}H_{132}N_4O_{28}Rh_4$. Найдено, %: C 53,35; H 5,81; N 2,44; Rh 18,25. Вычислено, %: C 53,38; H 5,87; N 2,49; Rh 18,33.
- ЭСΠ (MeOH, DMSO), λ /нм: 235, 255, 270, 290 (n→π*, π→π*, тетр.); 310, 340, 385 (Π3); 440, 455, 470 [π*(Rh₂)→σ*(RhO),σ*(RhN)]; 550, 570, 585[π*(Rh₂)→σ*(Rh₂)].
- Спектр ЯМР¹Н (DMSO-d6), δ /м.д.: 0,70–0,98 м (24H, N–CH₂C<u>H</u>₃); 2,0–2,1 м (16H, N–С<u>H</u>₂CH₃); 2,2–2,6 м (24H, ^{Ac}C<u>H</u>₃; 24H, ^{Me2CO}C<u>H</u>₃) 3,65–3,75 м (8H, C_{apom}–C<u>H</u>₂–N); 5,7–6,6 {(уш. с. 4H, С<u>Н</u>), (уш.с. 4H, *м*-CH_{apom},C₆H₂)}; 6,60 д

- $(8H, M-C\underline{H}_{apom}, C_6\underline{H}_5); 6,67 \ д (8H, o-C\underline{H}_{apom}, C_6\underline{H}_5), 6,87 \ c (4H, n-C\underline{H}_{apom}, C_6\underline{H}_5); 7,40 \ уш. \ c (4H, O\underline{H}); 7,90 \ уш. \ c (4H, O\underline{H}).$
- ИКС, область 500–100 см⁻¹, v: 419 (Rh–N); 346 ν_s (Rh–O); 385 ν_{as} (Rh–O). СКР, $\nu/\text{см}^{-1}$: 302, 348 (Rh–Rh).

Соединение {**KP12·**4[Rh₂(AcO)₄]·4EtOH} (**14**) или тетраэтанолгексадека-ацетато {4,6,10,12,16,18,22,24-октагидрокси-5,11,17,23-тет-ракис-диметиламинометил-2,8,14,20-тетра[пара-фенил]пентацикло[19.3.1.1^{3,7}.1^{9,14}.1^{10,15}]октакоза-1(25),3,5,7(28),9,11,13(27),15,17,19(26),21,23-додекаен}октародий(II). Характеристики **14**:

- Состав (%): $C_{104}H_{140}N_4O_{44}Rh_8$. Найдено, %: C 41,99; H 4,65; N 1,9; Rh 27,78. Вычислено, %: C 41,99; H 4,71; N 1,88; Rh 27,73.
- ЭСП (MeOH, DMSO), λ /нм: 235, 270, 290 {n \to π^* , π^{\to} π^* , тетр.}; 310, 340, 385 (ПЗ); 475 [π^* (Rh₂) \to σ^* (RhO), σ^* (RhN)]; 505 [π^* (Rh₂) \to σ^* (Rh₂)].
- Спектр ЯМР¹Н (DMSO-d6), δ/м.д.: 2,0–2,15 м (24H, С $\underline{\text{H}}_3$ –N–С; 12H, $^{\text{Et}}$ С $\underline{\text{H}}_3$); 2,2–2,3 м (48H, $^{\text{Ac}}$ С $\underline{\text{H}}_3$); 3,1–3,9 м (8H, С $_{apom}$ –С $\underline{\text{H}}_2$ -N; 8H, $^{\text{Et}}$ С $\underline{\text{H}}_2$); 5,9–6,7 {(уш. с., 4H, С $\underline{\text{H}}$), (уш.с., 4H, м-С $\underline{\text{H}}_{apom}$, С₆H₂)}; 6,60 д (8H, м-С $\underline{\text{H}}_{apom}$, С₆H₅); 6,67 д (8H, o-С $\underline{\text{H}}_{apom}$, С₆H₅); 6,87 с (4H, n-С $\underline{\text{H}}_{apom}$, С₆H₅); 7,9–8,5 уш. м (12H, О $\underline{\text{H}}$).
- ИКС, область 600–100 см⁻¹, v: 520 (RhO)_{EtO}; 410 (Rh–N); 347 ν_s (Rh–O); 353, 382 ν_{as} (Rh–O). СКР, ν/c м⁻¹: 302, 348 (Rh–Rh).

Соединение {**KP13·4**[Rh₂(AcO)₄]•4EtOH} (**15**): тетраэтанолгексадекаацетато-{4,6,10,12,16,18,22,24-октагидрокси-5,11,17,23-тетракис-диэтиламинометил-2,8,14,20-тетра-[пара-фенил]-пентацикло[19.3.1.1^{3,7}.1^{9,13}.1^{15,19}]октакоза1(25), 3,5, 7(28),9,11,13(27),15,17,19(26),21,23-додекаен)октародий(II). Характеристики **15**:

- Состав (%): С₁₁₂H₁₅₆N₄O₄₄Rh₈. Найдено, %: С 43,85; Н 5,26; N 1,98; Rh 26,72.
 Вычислено, %: С 43,58; Н 5,06; N 1,82; Rh 26,72.
- − ЭСΠ (MeOH, DMSO), λ /нм: 235, 255, 270, 290 (n→π*, π→π*, тетр.); 310, 340, 385 (Π3); 470 [π*(Rh₂)→σ*(RhO),σ*(RhN)]; 500 [π*(Rh₂)→σ*(Rh₂)].
- Спектр ЯМР¹Н (DMSO-d6), δ/м.д.: 0,75–1,1 м (24H, N-CH₂CH₃); 1,3–1,5 м (12H, EtCH₃); 2,0–2,1 м (16H, N-CH₂CH₃); 2,2–2,3 м (48H, AcCH₃); 3,1–3,94 м (8H, С_{аром}-СН₂-N; 8H, EtCH₂); 5,7–6,6 {(уш. с. 4H, СН), (уш. с. 4H, м-СН_{аром}, С₆H₂)}; 6,60 д (8H, м-СН_{аром}, С₆H₅); 6,67 д (8H, о-СН_{аром}, С₆H₅), 6,87 с (4H, n-CH_{аром}, С₆H₅); 7,5–7,8 уш. с (12H, ОН).
- ИКС, область 600–100 см⁻¹, v: 528 (Rh–O)_{EtO}; 415 (Rh–N); 347 ν_s (Rh–O); 357, 386 ν_{as} (Rh–O). СКР, ν/c м⁻¹: 300, 340 (Rh–Rh).

Соединение {**KP12**·4[Rh^{III} (O₂⁻) 2(Cl⁻)]} (**16**): октахлоротетрапероксо {(4, 6,10,12,16,18,22,24-октагидрокси-5,11,17,23-тетракисдиметиламинометил-2,8, 14,20-тетра[пара-толил]пентацикло-[19.3.1.1^{3,7}.1^{9,13}.1^{15,19}]октакоза-1(25),3,5, 7(28),9,11,13(27),15,17,19(26),21,23-додекаен)} тетрародий(III). Характеристики **16**:

- Состав (%): C₆₈H₇₆Cl₈O₁₆N₄Rh₄. Найдено, %: С 42,98; Н 3,98; Сl 14,98; N 3,00; Rh 22,00. Вычислено, %: С 42,95; Н 4,00; Cl 14,95; N 2,95; Rh 21,68.
- ЭСП (MeOH, DMSO), λ /нм: 230, 245, 280 (n \rightarrow π *, π \rightarrow π *, тетр.); 310, 360, 380 (ПЗ)?; 400; 460, 500 (ПЗМЛ).

- Спектр ЯМР¹Н (DMSO–d6), δ /м.д.: 2,09–2,12 м (24H, С<u>Н</u>₃–N–С); 2,15 с (12H, С_{аром}–С<u>Н</u>₃); 3,61–3,85 м (8H, С_{аром}–С<u>Н</u>₂–N); 5,89–5,92 (уш.с. 4H, С<u>Н</u>), 6,23–6,27 (уш.с. 4H, м-СН_{аром},С₆H₂); 6,60 д (8H, м-С<u>Н</u>_{аром}, С₆<u>Н</u>₄); 6,67 д (8H, о-С<u>Н</u>_{аром}, С₆<u>Н</u>₄); 7,55 уш. с (8H, О<u>Н</u>).
- ИКС, область 500–100 см⁻¹, v: 425 (Rh–N); 333 (Rh–Cl_{term}).

Соединение {**KP12**·[Rh₄Cl₁₂(OH₂)₄]} (**17**) или тетраакваоктахлоро-µ-тетрахлоро {(4,6,10,12,16,18,22,24-октагидрокси-5,11,17,23-тетракисдиметиламинометил-2,8,14,20-тетра[пара-толил]пентацикло[$19.3.1.1^{3,7}.1^{9,13}.1^{15,19}$]окта-коза-1(25),3,5,7(28),9,11,13(27),15,17,19(26),21,23-додекаен)}тетрародий(III). Характеристики **17**:

- Состав (%): C₆₈H₈₄Cl₁₂O₁₂N₄Rh₄. Найдено, %: С 41,16; Н 4,29; Сl 21,57; N 2,89; Rh 20,83. Вычислено, %: С 41,08; Н 4,23; Cl 21,45; N 2,82; Rh 20,75.
- ЭСП (MeOH, DMSO), λ /нм: 230, 245, 260, 280 (n \to π *, π \to π *, тетр.); 310, 340, 360, 380, 505 (ПЗ, d \to d).
- Спектр ЯМР¹Н (DMSO-d6), δ/м.д.: 2,01–2,1 м (24H, С<u>Н</u>₃–N–С); 2,15 с (12H, С_{аром}-С<u>Н</u>₃); 3,61–3,85 м (8H, С_{аром}-С<u>Н</u>₂–N); 4,67–5,39 м уш (8H, <u>Н</u>₂О); 5,89–5,92 (уш.с. 4H, С<u>Н</u>), 6,23–6,27 (уш.с. 4H, м-СН_{аром},С₆Н₂); 6,60 д (8H, м-С<u>Н</u>_{аром}, С₆<u>Н</u>₄); 6,67 д (8H, *o*-С<u>Н</u>_{аром}, С₆<u>Н</u>₄); 7,55 уш. с (8H, О<u>Н</u>).
- ИКС, область 500–100 см⁻¹, v: 490, 470 (Rh–O)_{H2O}; 418 (Rh–N); 340, 332 (Rh–Cl_{term}); 290, 285 (Rh– μ –Cl).

РЕЗУЛЬТАТЫ И ИХ ОБСУЖДЕНИЕ Влияние природы растворителя

КР при взаимодействие с растворителями образует частицы разнообразного состава и строения. Например, **КР3**, представляющий окта-2-гидроксиэтилированное производное каликс[4]резорцина (рис. 1а), формирует в различных растворителях частицы разного размера, что является важным фактором при взаимодействиях макрогетероциклов на каликсрезорциновой основе с другими соединениями.

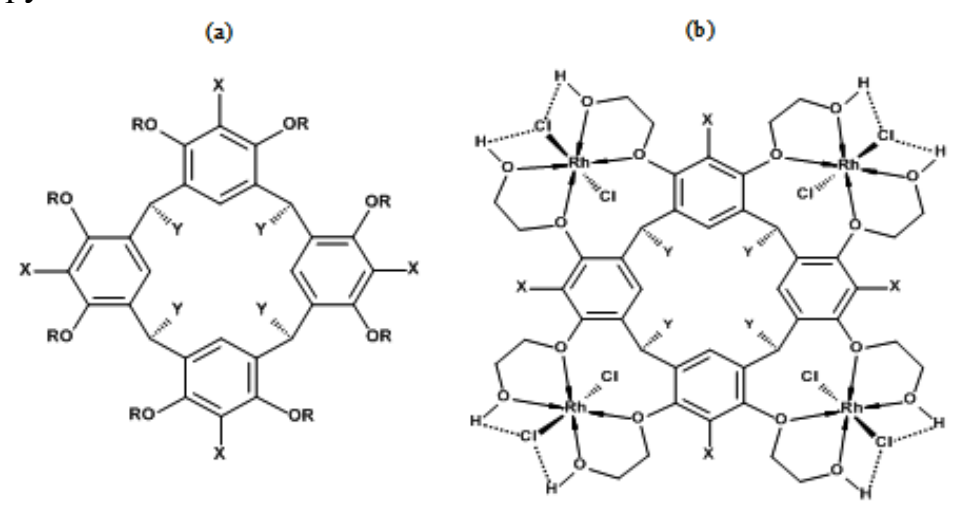


Рис. 1. Структурная формула **КР3**: $Y = C_5H_{11}$; X = H; $R = CH_2CH_2OH$, конформация «конус», *rccc*-изомер (а); структурная формула **3** по данным физико-химических исследований (b)

Fig. 1. Structural formula of **KR3**: $Y = C_5H_{11}$; X = H; $R = CH_2CH_2OH$, cone conformation, reccisomer (a); structural formula 3 according to physical and chemical studies (b)

Исследования методом ДСР (табл. 1) показали, что **КР3** в СС l_4 самоассоциируется, формируя агрегаты со средним гидродинамическим радиусом от 200 нм до 9000 нм вне зависимости от концентрации раствора, что позволяет отнести систему к микрогетерогенным. При этом для большинства концентраций (табл. 1) наблюдается бимодальное распределение частиц по размерам (D_1 и D_2). Близкие результаты получены в СНС l_3 . Изменение размеров агрегатов связано с непрерывной диссоциацией и ассоциацией молекул в растворе.

Таблица 1. Результаты распределения частиц по размерам (D) в CCl₄ для **КР3 Table 1.** Results of particle size distribution (D) in CCl₄ for KR3

Концентрация (Скрз), М	${ m D}_1$,нм	D ₂ ,нм
1.10-3	270-400 (36%)	2080-3400 (64%)
$0.5 \cdot 10^{-3}$	150-270 (8%); 780-1600 (72%)	5400-8800 (20%)
0,25·10 ⁻³	374-660 (16%)	8000-1000 (84%)
1.10-4	1076-1480 (92%)	8500-1000 (8%)
0,5·10 ⁻⁴	200-310 (27%)	7651-10000 (73%)
0,25·10 ⁻⁴	390-485 (23%)	7990-10000 (77%)
1.10-5	304-480 (15%)	2300-4000 (85%)

При смене растворителя на DMSO или Me_2CO результат изменяется следующим образом: 22% частиц имеют размер от 64 нм до 110 нм, что значительно меньше, чем размеры частиц в CCl_4 или $CHCl_3$. Следовательно, в DMSO или Me_2CO часть агрегатов находятся в наноразмерной области. Очевидно, это связано с природой растворителей, что влияет на ассоциацию и диссоциацию молекул. Как показали исследования, значительное влияние на образование стабильных продуктов, выход, состав и строение в реакциях с **КР3**, оказывает природа растворителя [12, 19] (табл. 2).

Таблица 2. Условия синтеза и некоторые характеристики продукта 3 *Table 2.* Synthesis conditions and some characteristics of the product 3

Условия синтеза	Реакция I: продукт 3a	Реакция II:продукты 36, 3в		
соотношение 1:КРЗ	аргон, 8: 1 и 4: 1	аргон, 8: 1 и 4: 1		
1 растворяем в	Ме ₂ СО(раствор)	Ме ₂ СО (раствор)		
КРЗ растворяем в	Me ₂ CO (суспензия)	CHCl ₃ (раств.)		
Время перемешивания и нахождения в реакционной среде	1,5ч и 60ч	1,5ч и 60ч.		
Т процесса, °С,	50-54	50-54		
Выход, %	40-45	36 – 17	3B - 25.	
Условия выделения продукта	Осадок	Осадок	Выделен из C ₆ H ₆ при Т ниже 0°C	
Т _{пл.} /Т _{разл.} , °С	195/236	195/236	195/236	
Цвет	темно-розовый	темно-розовый		
Свойства $\chi (S \cdot 10^{-6} / \text{см}); ЭПР;$	V ·	20–22 в МеОН (для МеОН: 5–8); диамагнитный;		
продукта 3 ЭСП (МеОН _{безвод}), λ_{max} , нм	230–220, 245, 265, 290, 310, 410, 440, 460 $(\pi \rightarrow \pi^*)$, $\Pi 3$, $(d-d)$			

Условия синтеза и выход продукта **3** в Me_2CO (**реакция I**) и в смешанной ($Me_2CO+CHCl_3$) среде (**реакция II**) примерно одинаковы. Однако условия выделения **3** в твердую фазу различаются (табл. 2). Вышеприведенные результаты могут быть использованы при выделении родия из сложных органических промышленных сред.

Результаты, полученные методом рентгеновской дифракции

Для подтверждения образования индивидуального соединения проведено сравнительное исследование соединений **1**, **KP3** и **3** методом рентгеновской дифракции (рис. 2a–2d) [18]. На дифрактограмме **1** в инертной атмосфере (рис. 2b) наблюдаются отчетливые пики с наиболее интенсивными интерференционными пиками в области углов рассеяния 2θ 14°, 17° и 25,5°. На дифрактограмме соединения **KP3** наиболее интенсивные интерференционные пики наблюдаются в области углов рассеяния 2θ 10° и 15° (рис. 2а, синяя кривая). В угловом диапазоне 18–30° интерференционная картина также достаточно активная с большим числом пиков, но менее интенсивных.

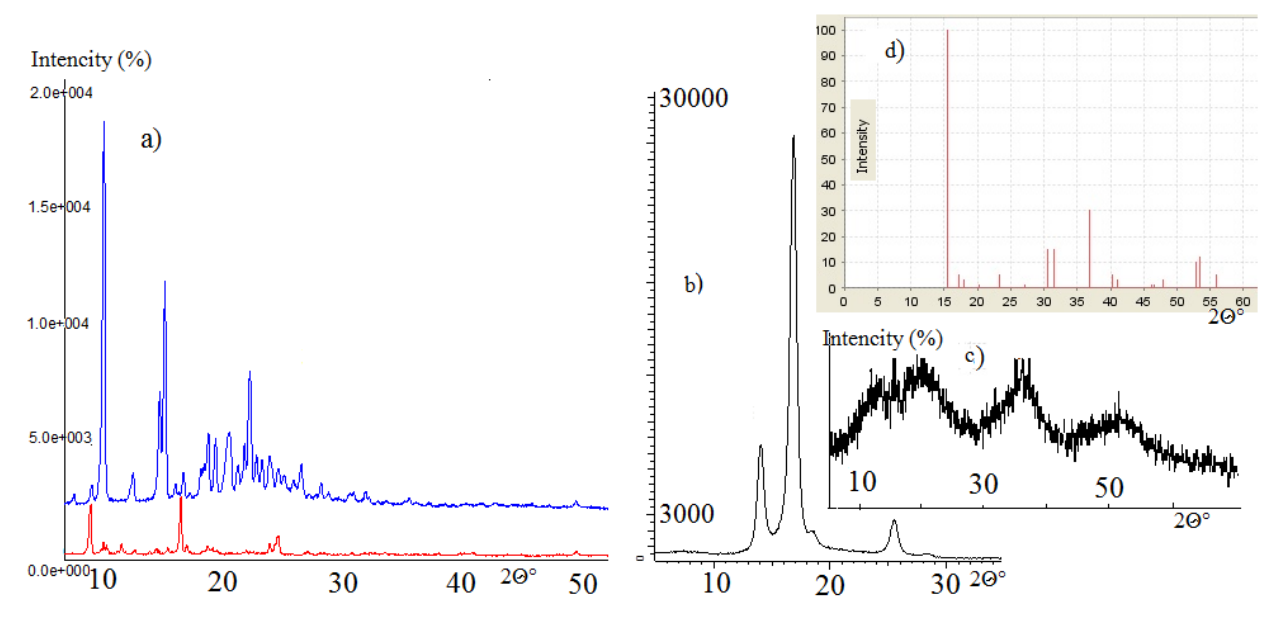


Рис. 2. Экспериментальные дифрактограммы образцов: (а) продукт **3** – красная, соединение **КР3** – синяя; (b) соединения **1** с использованием инертной атмосферы в пленке; (c) соединения **1** в атмосфере воздуха; (d) для RhCl₃ (International Centre for Diffraction/All rights reserved (интенсивные пики – 15,5°, 30°, 36°). Съемка для **КР3**, **1**, **3** при неподвижных образцах, кривые сдвинуты друг относительно друга по оси интенсивностей для наглядности (ось 0y –интенсивность в относительных единицах, ось 0x – угол рассеяния, 2θ , град) [19]

Fig. 2. Experimental diffraction patterns of samples: (a) product 3 - red, compound KR3 - blue; (b) compound 1 using an inert atmosphere in the film; (c) compound 1 in air; (d) for RhCl₃ (International Centre for Diffraction/ All rights reserved (intense peaks $-15,5^{\circ}$, 30° , 36°). Shooting for KR3, 1, 3 with stationary samples, the curves are shifted relative to each other along the intensity axis for clarity (0y axis – intensity in relative units, 0x axis – scattering angle, 2θ , deg)

Дифрактограмма продукта **3** (рис. 1а, красная кривая) отличается существенно по числу и положению интерференционных пиков от таковых для чистых компонентов (**1** и **КР3**): наиболее интенсивные интерференционные

пики находятся в области углов рассеяния 20 5° и 18°, однако, во всем угловом диапазоне 20 4°–30° наблюдаются малоинтенсивные, но отчетливые пики. На дифрактограммах всех исследованных образцов наблюдаются хорошо выраженные, (хотя и уширенные) рефлексы, характерные для упорядоченных кристаллических структур, в которых реализуется дальний порядок.

Таким образом, механохимическое активирование смеси **КР3** и **1** в растворе приводит не только к гомогенному распределению обеих компонент в массе (о чем свидетельствует отсутствие интерференционных пиков, характерных для чистых компонент), но и к образованию нового устойчивого соединения **3**.

Степень окисления ионов родия

Еще одним важным вопросом является степень окисления ионов родия в соединении 3. Поскольку \mathbf{KP} имеют протяженную систему π -связей, то они осуществлять внутри-И межмолекулярное перераспределение электронной плотности. Из сравнения данных ЭСП соединений **КР3** ($\lambda_{max} \sim$ 220-241, 233, 237, 241, 284, 288 нм) [42], 1 [31] и 3 следует, что полоса поглощения (d-d) переходов в ЭСП продукта **3**, расщепленная на триплет (410, 440, нм), характерна ДЛЯ низкоспиновой шестикоординационной конфигурации Rh(III) [31] (рис. 3).

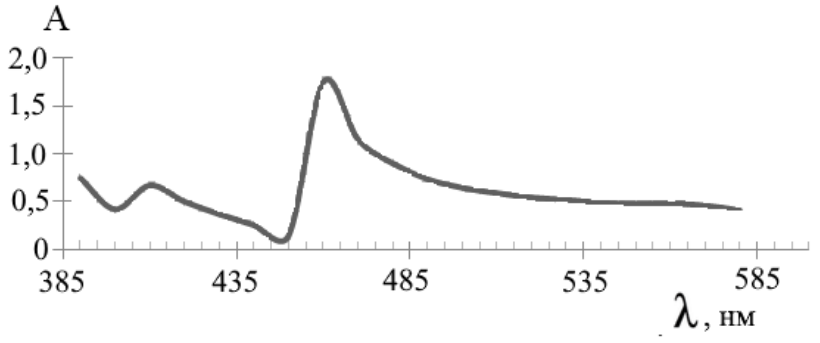


Рис. 3. Электронный спектр поглощения **3** в области 385-585 нм (в MeOH $_{\text{безвод}}$)

Fig. 3. Electronic absorption spectrum 3 in the region 385–585 nm (in MeOH anhydrous)

Результаты по ЭСП для соединения 3 подтверждаются ИКС и СКР в длинноволновой области, представленные ранее подробно в [25]. Частоты связи (Rh-Cl_{term}) в ИКС и СКР в соединении 3 находятся в области, характерной для соединений Rh(III) ~ соответственно 332 и 345 см⁻¹, указывая также на сохранение степени окисления Rh(III). Очевидно, стабильности электронного способствует состояния Rh(III) стерический фактор, создаваемый пространственно объемной и жесткой каликсрезорциновой матрицей. Кроме того, в длинноволновой области ИКС наблюдаются частоты v(Rh-O)_{O-AR}, v(Rh- $O)_{OH} \sim 555$, 428 см⁻¹. Таким образом, можно заключить, что продукт **3** является диамагнитным соединением, содержащим ионы Rh(III). В координационном полиэдре ионы Rh(III) связаны с хлорид-ионами, с атомами кислорода арильных и гидроксильных групп. Ионы Rh(III) располагаются внешнесферно по отношению к каликсрезорциновой структуре. На данный факт, например, указывают более низкие $T_{\text{пл}}$./ $T_{\text{разл.}}$ соединения **3** (195°C/236°C) по сравнению с т.пл. **КР3** (256°C).

Структурная формула продукта 3

В [25] подробно рассмотрен выбор структурной формулы продукта **3** на основе совокупности физико-химических данных и результатов колебательной спектроскопии, $\mathrm{SMP}^1\mathrm{H}$ -спектроскопии и квантовохимического моделирования. В составе соединения **3** также как и в **кР3** присутствуют все восемь группировок $-\mathrm{OCH_2CH_2OH}$, поскольку анализ относительных интенсивностей полос (рис. 4) групп функциональных группировок $-\mathrm{O(CH_2)_2OH}$ показал, что соотношение интегральных интенсивностей групп $-\mathrm{OCH_2}$ к группам $-\mathrm{CH_2O-u-OH}$ равно $\sim 2:3$.

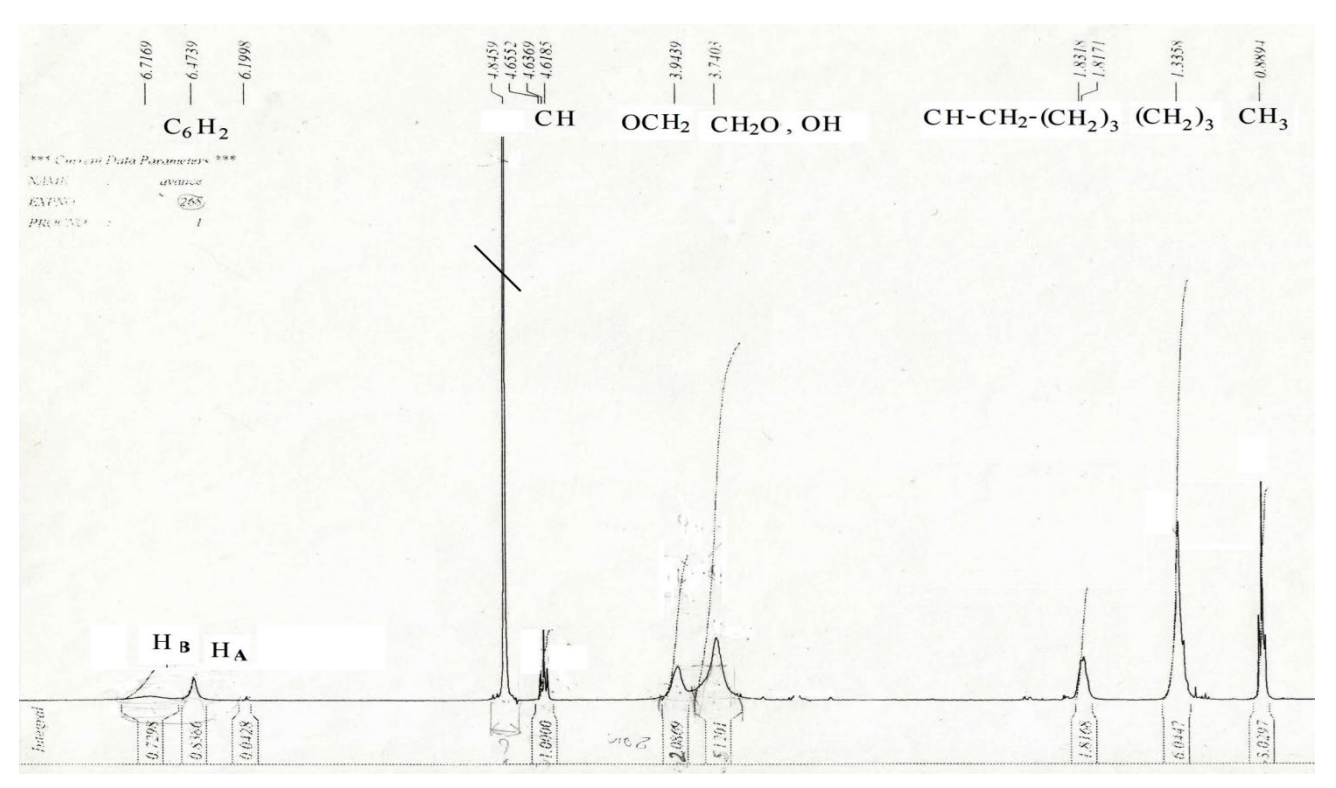


Рис. 4. ЯМР^1 Н спектр соединения **3** в MeOH $_{\text{безвод}}$, внешний стандарт – ТМС

Fig. 4. 1 H NMR spectrum of compound 3 in MeOH $_{anhydrous}$, external standard – TMS

В колебательных спектрах соединения **3** присутствуют все полосы поглощения каликсрезорциновой структуры и оксиэтилированных фрагментов (*см. эксп. часть*). При переходе от **КР3** к **3** наблюдаются изменения в характере полос поглощения и частотах колебаний функциональных групп, связанных с арильными кольцами, образующими каликсрезорциновую структуру, например, $\nu(O-H)$. $\nu(C_{AR}-O)$, $\{\nu(CCC)_{AR},\nu(C-C),\nu(C_{AR}-O),\nu(CH)_{CH},\delta(CH)_{AR}^{III}\}$ и т.д., что связано с образованием связей по группам [$-O-(CH_2)_2-OH$], введенным в резорциновые фрагменты верхнего обода лиганда.

Совокупность физико-химических результатов свидетельствует в пользу присутствия в структуре соединения **3** связей Rh–O, также межмолекулярных водородных связей (MMBC) и внутримолекулярных водородных связей

(BMBC). Очевидно, что координационные узлы представлены октаэдрическими моноядерными хлорокомплексами Rh(III) с внешнесферной координацией по отношению к каликсрезорциновой матрице (рис. 1b).

Согласно стереохимическим воззрениям [43], двугранный образуемый ароматической связью С=С, которая находится рядом с кислородом и связью С-О, соединяющейся с ароматическим кольцом, обычно близок к 0^0 или к 180^0 , что происходит из-за сопряжения неподеленных электронных пар кислорода с ароматическим циклом. По этой причине ионы родия могут координировать окси- и гидроксиэтильные атомы кислорода лишь соседних резорциновых фрагментов тетрамерной структуры КРЗ. Расчет показал [25], что значения двугранных ∠ ОССО при связях С-С и С-О во всех четырех фрагментах верхнего обода молекул КРЗ и 3 примерно одинаковы и близки к 180° (см. эксп. часть), что предполагает и подтверждает координацию к иону родия окси- и гидроксиэтильных атомов кислорода соседних резорциновых фрагментов тетрамера с сохранением конформации «конус». Соединение 3 можно охарактеризовать как хелатный комплекс, который является симметричным тетраядерным диамагнитным родиокавитандом, образуемым дихлородигидроксодиоксоэтильными комплексами Rh(III) (рис. 1b). В то же время продукты взаимодействия 3 с 18CR6 и DB18CR6 в ацетонитриле MeCN, Ме₂CO, бутаноле n-С₄H₉OH существуют только в растворе [44]. С увеличением температуры процесса наблюдается образование трудноразделимых многокомпонентных продуктов.

Таким образом, использование макрогетероцикла на каликсрезорциновой основе, содержащего гидроксиоксиэтилированные группы, позволяет:

- выделить устойчивые комплексные соединения родия в твердом виде,
- разрешить вопрос с разрывом эфирных связей,
- использовать **КР3** при экстракции родия из сложных технологических растворов.

Функциональные свойства исследованных соединений

Соединения КРЗ и 3 обладают важными функциональными свойствами. В [45] показано, что КРЗ и З являются эффективными бактерицидами при сульфатвосстанавливающими биодеградации нефти бактериями Desulfobacter) в зоне низких концентраций 0.01-0.17 г/л. Бактерицидный эффект составляет 88% и 100% соответственно для соединений КРЗ и 3. Соединения КРЗ и 3 могут также рекомендоваться в качестве ингибиторов микробиологической коррозии (биокоррозии), поскольку в концентрации 0,3 г/л эффект ингибирования окисления проявляется на 4-10 сутки и достигает максимума на 9 сутки — соответственно 87% и 92%. Интенсификация роста СВБ Desulfobacter наблюдается при концентрациях соединений КРЗ, 3 ниже 0,01 г/л и выше 0,17 г/л. Подобная концентрационная зависимость предполагает использование при управлении процессами: ингибирования роста СВБ Desulfobacter для безопасности производственных мощностей и качества продукции; интенсификации роста СВБ Desulfobacter для безопасности окружающей среды при переработки нефтешламов.

Функциональные супрамолекулярные комплексы родия выделены также в реакциях соединений родия с фосфорилсодержащим каликсрезорцином **КР4** (рис. 5).

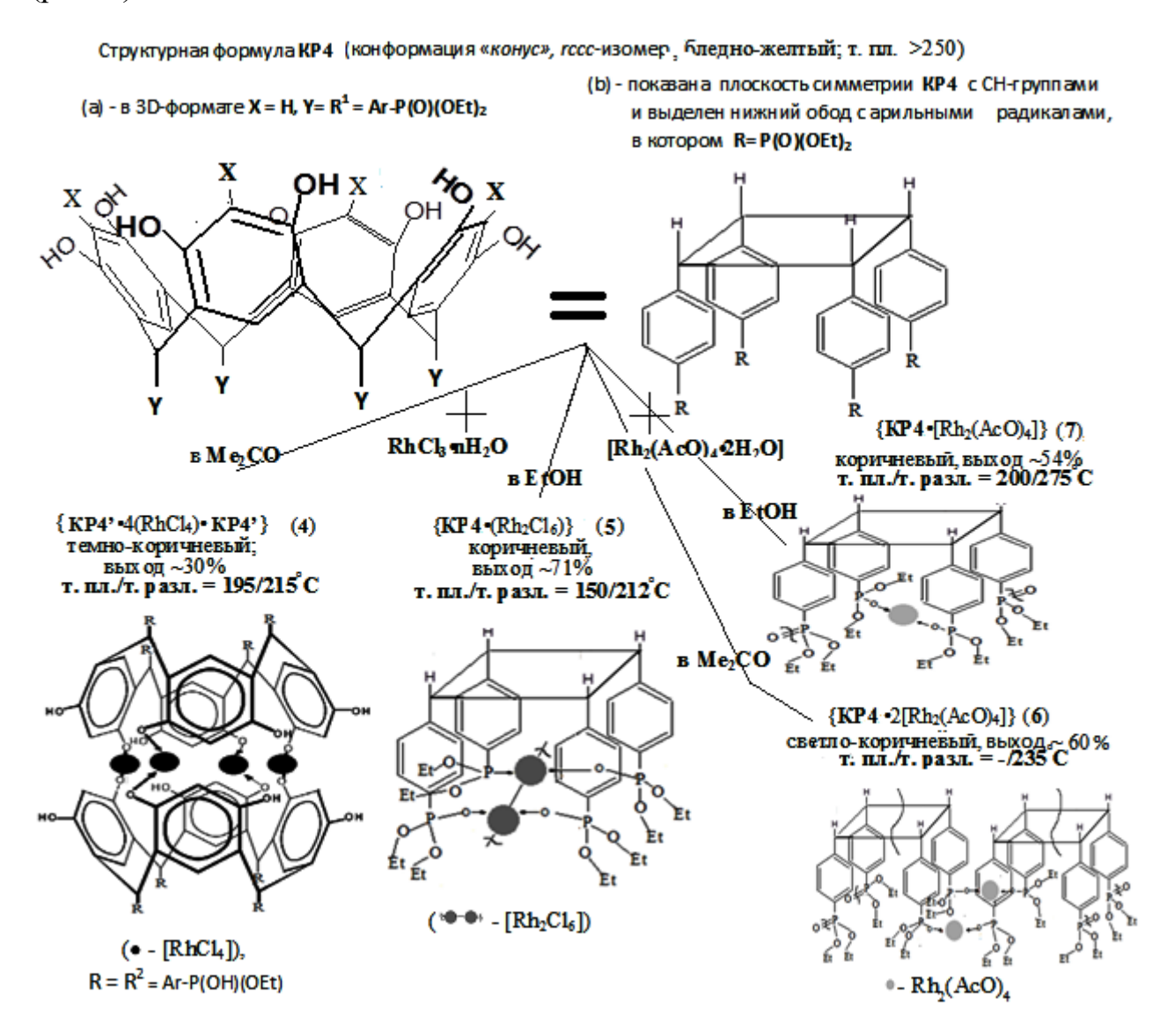


Рис. 5. Схема образования продуктов **4–7** в реакциях соединений **1** и **2** с **КР4** в Me₂CO и EtOH; структурные формулы продуктов **4–7** (т.пл/т.разл = $T_{пл}/T_{разл}$)

Fig. 5. Scheme of the formation of products 4–7 in the reactions of compounds 1 and 2 with **KR4** in $M_{e2}CO$ and EtOH; structural formulas of products 4–7 (melting point/decomposition temperature = $T_{melt}/T_{decomp.}$)

В частности, в [19, 21, 26, 28, 30] представлены результаты исследований взаимодействия **КР4** с соединениями **1** и **2**. Взаимодействием **1** с **КР4** в Me₂CO и ЕtOH получены соответственно продукты **4** и **5**; реакцией **КР4** в Me₂CO и ЕtOH получены соответственно продукты **6** и **7**. По результатам элементного анализа и данным масс-спектрометрии в продуктах **4** и **5** соотношение **Rh**: **КР4** равно соответственно 4: 2 и 2: 1; в продуктах **6** и **7** — соответственно 4: 1 и 2: 1. Согласно физико-химическим характеристикам комплексы **4**–**7** имеют соответственно состав {**КР4**'·4(RhCl₄)·**КР4**'} (**4**), {**КР4**·(Rh₂Cl₆)} (**5**),

 $\{$ KP4·2[Rh $_2(AcO)_4]<math>\}$ (6), $\{$ KP4·[Rh $_2(AcO)_4]<math>\}$ (7), структурные формулы которых и схемы образования представлены выше на рисунке 5.

Исследования соединений 4-7 на предмет проявления бактерицидной и антиоксидантной активности показали, что продукт 4 проявляет наивысшую бактерицидную активность [45]. Соединения КР4 и 4 ингибируют рост СВБ Desulfobacter в широкой области концентраций 0.02-0.24 г/л и одинаково высокая бактерицидная активность наблюдается для всех концентраций данного интервала (до 97%). Интенсификация роста CBF Desulfobacter в присутствие **КР4** и **4** происходит при концентрациях ниже 0,02 г/л и выше 0,24 г/л, что является актуальным при очистке от нефтяных загрязнений. Антиоксидантные свойства соединения 4 В концентрации положительные, но неравномерные и крайне низкие при рассмотрении 12дневного цикла роста СВБ. При рассмотрении 12-дневного цикла роста СВБ для соединения КР4 наблюдаются промежутки с отрицательным эффектом окисления. Очевидно, соединения 4 и КР4 как антиоксиданты использовать нежелательно.

Высокая бактерицидная активность соединения **4**, как мы полагаем, связана с рядом факторов. Отличие **4** от соединений **5**–7 состоит в том, что фосфорильная связь в нем не сохраняется. Этому способствует ряд факторов. Во-первых, фосфорильная связь является хорошим акцептором протонов [46], при этом источником протонов, очевидно, служит соединение **1**, являющееся протонной кислотой с составом $(H_3O)^+[Rh_nCl_{3n+3}\ H_2O]$ [47–48]. Принимая во внимание вышеперечисленные литературные данные, можно утверждать, что в условиях повышенной концентрации протонов конечным продуктом кислотного гидролиза групп [–P(O)(OEt)₂] в **КР4** являются [–P(O)(OH)(OEt)] группы, образующиеся в результате кислотного гидролиза фосфонатов (рис. 6).

Рис. 6. Схема кислотного гидролиза групп $[-P(O)(OEt)_2]$ в **КР4** и образование **КР4'** с группами [-P(O)(OH)(OEt)] (на рисунке Et представлен как C_2H_5)

Fig. 6. Scheme of acid hydrolysis of $[-P(O)(OEt)_2]$ groups in **KR4** and formation of **KR4**' with [-P(O)(OH)(OEt)] groups (in the figure, Et is represented as C_2H_5)

Группы [–P(O)(OH)(OEt)] более склонны к образованию водородных связей и плохо стабилизируют Rh(III), что исключает возможность связывания родия с кислородом фосфорильной группы [46]. Немаловажное значение играют свойства растворителя. Поскольку образование разных по составу и строению продуктов в Me₂CO и EtOH при взаимодействии с протонной кислотой 3, связано с тем, что в Me₂CO **кР4** образует агрегаты с молекулами растворителя. В EtOH молекулы **кР4** ассоцируются между собой [13].

В спектрах ЯМР³¹Р **4** наблюдается сигнал резонанса ³¹Р (22,7 м.д.), характерный для групп P(O)(OH)(OEt), что подтверждает отсутствие связи по группе P=O (табл. 3) [49–50]. Небольшой слабопольный сдвиг (+1,72 м.д.)

связан с изменением в экранировании ядер атомов фосфора вследствие образования MMBC или BMBC.

Таблица 3. Характеристические частоты в ИК спектрах для соединений 4–7, **КР4** *Table 3.* Characteristic frequencies in the IR spectra for compounds 4–7, **КR4**

Tuble 3. Chai	Соединения				
Отнесение	КР4	4	5	6	7
ν(O-H)rez, ν(CH) _{CH3} , ν(CH) _{CH2} , ν(CH) _{CH} ,	3633, 3512, 3329, 3188, 2923, 2854	3422, 2985	3603, 3180	3196.	3196.
ν(Ar)	1618, 1601,1503	1604, 1500	1602, 1500	-	-
$v(Ar) + v_{as}(COO)$	-	-	-	1602, 1593, 1511, 1558	1602, 1593, 1511, 1576
δ(CH) _{CH} , ν(P-Ar) +ν(CH) _{CH3} .	1403, 1335, 1290.	1435, 1335, 1292.	1403, 1300.	-	-
$\delta(CH)_{CH}$, $\nu(P-Ar)$ + $\nu(CH)_{CH3}$ + $\nu_s(COO)$.				1407, 1293, 1455	1407, 1293, 1420.
ν (P=O)	1209	1210	1217	1215	1215.
$\begin{array}{c} \nu(\text{P-O-Et}) + \delta \text{Ar}(\text{P}), \\ \nu(\text{Ar}) + \nu(\text{CH})_{\text{CH}}, \\ \nu(\text{C}_{\text{AR}}\text{O}), \nu(\text{CC}), \\ \nu(\text{CH})_{\text{Ar}} \end{array}$	1176, 1157, 1132.	1174,1157, 1130	1163,1157, 1131	1162, 1157, 1130	1162, 1157, 1130
$\delta[Ar(P)]+\delta(Ar),$ $\nu(CC),\nu(CH)_{CH},$ $\nu(C_{AR}O),\nu(CCC)_{AR},$ $\nu(CCO)_{AR}$	1110, 1083, 1040,1016, 998, 961, 926	1096, 1050, 1019, 975	1080, 1040, 1019, 973	1095, 1049, 1018, 975	1095, 1049, 1018, 975
$\delta(Ar)$, $\nu(COC)$, $\nu(CC)$, $\nu(CH)_{Ar}$	844.	845.	847	844	844
$\nu(P-C_{AR})+\delta(Ar)$	804, 777, 693	795,769,680	770	795,767, 721,693	795,767, 721,693
$\delta(CCC)_{AR}, \delta(CCO)_{AR}, \\ \delta(PC_{AR}) + (ArPO) + \\ \delta(CPO)\}.$	635,603,560, 538, 476	-	570, 476	634, 603, 564, 476	634, 603, 564, 476
$ \begin{array}{c} \delta(CCC)_{AR}, \delta(CCO)_{AR}, \\ \delta(PC_{AR}) + (ArPO) + \\ \delta(CPO)\}, \nu(Rh-O_{REZ}) \end{array} $		568(557), 474, 595(599)			
$\nu(\text{Rh-O}_{P=O})$			420	440	440
$ \nu(Rh-Cl_{term}); $ $ \nu(Rh_{-\mu}-Cl) $		336	364, 332; 292, 275		
$\nu_s(\text{Rh-O})/\nu_{as}(\text{Rh-O});$ CKP: $\nu(\text{Rh-Rh})$				348/358, 372 CKP: 318, 349	348/358, 382 CKP: 316, 349

В ИКС соединения 4 связи ионов родия с группой (P=O) отсутствуют, что подтверждают близкие значения частот ν (P=O) соединений **KP4** и **4**, а также ряд частот функциональных групп, например, ν (P-O-Et), ν (P-Ar) (табл. 3). Характеристические частоты соединений **1**–**2** представлены в экспериментальной части статьи.

Изменения в ИКС для области $\nu(OH)_{rez}$ в соединении **4** указывает на координацию ионов родия по кислороду резорцинольных групп. Частоты $\nu(OH)_{rez}$ для **КР4** наблюдаются широким мультиплетом, указывая на наличие ММВС, ВМВС и на свободные ОН-группы. В ИКС **4** наблюдается одна интенсивная полоса поглощения $\nu(OH)_{rez}$; в области ниже $600~\text{cm}^{-1}$ наблюдаются частоты $\nu(Rh-O_{rez})$ и $\nu(Rh-Cl_{term})$, высокая интенсивность последних подтверждает внешнесферный характер хлорокомплексов Rh(III) (табл. 3).

По результатам ЭПР соединение 4 является системой с неспаренным электроном. Сигнал в спектре ЭПР ($g_{\perp}2,006$, $g_{\parallel}=1,974$, $<g>\approx 2,000$) отнесен согласно виду и значениям g-факторов к фрагментам с резорцид-радикалом (Rez^{\bullet})⁻(Rh^{III}). При этом для свободного **КР** фрагменты вида (Rez^{\bullet})⁻ имеют <g>=2,0038 [51]. Согласно значениям g-факторов в соединении 4 основным состоянием Rh^{III} является d_{z2} , что предполагает искажение координационного полиэдра в аксиальной плоскости. В аксиальной плоскости находятся объемные частицы в виде лиганда **КР4** с группами –[P(O)(OH)(OEt)], создающего сильное кристаллическое поле, о чем свидетельствует низкое значение СТС (35 Э); в экваториальной плоскости – хлорид-лиганды [52]. Подобного вида спектры ЭПР ($g_{\perp}\approx 2, g_{\parallel}< 2$) фиксируются и в других комплексах Rh(III), например в [53]. Присутствие анион-радикала подтверждено сравнением ЭСП растворов 4 с модельными системами вида {М-О⁻-Ar} или {М-О⁻-Ar} (табл.4) [31, 53, 51].

Таблица 4. Характеристики соединений 4–7, **КР4** по данным электронной спектроскопии *Table 4.* Characteristics of compounds 4–7, **KR4** according to electron spectroscopy data

№	ЭСП: λ_{max} (нм), в DMSO, MeOH; $l=1$ см; $v_{\text{кіов.}}=3$ мл; $C=10^{-3}-10^{-4}$ М, где
	тетр. – тетрамер; d-d – (d-d) переход; ПЗ – перенос заряда; rez-резорцин
КР4	221, 233, 237, 241, 266, 284, 288, 300, 312 (π — π *, тетр.), где тетр. — тетрамер
4	245, 260–280 ($\pi \to \pi^*$, TeTp.); 330, 390 [d(Rh ^{III}) $\to \pi^*$ (rez)]; 470[π (O, rez) \to d(Rh ^{III})];
5	230, 285 ($\pi \rightarrow \pi^*$, тетр.); 380,400,500 (ПЗ, d-d),
6	230-260, 285 ($\pi \to \pi^*$, TeTp.); 430[$\pi^*(Rh_2) \to \sigma^*(Rh-O)$]; 560[$\pi^*(Rh_2) \to \sigma^*(Rh_2)$],
7	230-260, 290 ($\pi \to \pi^*$, TeTp.); 420[$\pi^*(Rh_2) \to \delta^*(Rh-O)$]; 550[$\pi^*(Rh_2) \to \sigma^*(Rh_2)$];

Отметим, что в парамагнитных комплексах Rh(II) <g> = 2,2 и более [54, 52]. При этом для катион-радикальных кластеров в виде систем $(Rh_2)^V$ [$\sigma^2\pi^4\delta^2\pi^{*4}\delta^*$] или $(Rh_2)^I$ [$\sigma^2\pi^4\delta^2\delta^{*2}\pi^{*3}$] [55], имеющих аксиальную симметрию, значения g_{\perp} и g_{\parallel} также иные. Например, для $(Rh_2)^V - 2,05 \le \bot g \le 2,09, 1,91 \le \parallel g \le 1,98$ и для $(Rh_2)^I - 0,6 \le \bot g \le 1,87, 3,38 \le \parallel g \le 4,00$ [56–58].

Соединения **5**, **6**, **7** относятся к устойчивым диамагнитным соединениям неионного типа, в спектрах ЯМР³¹Р которых наблюдается один сигнал резонанса ³¹Р: соответственно $\delta_P = 18,32,\ 18,02,\ 18,9$ м.д. Сильнопольные $\Delta\delta_P$ соответственно для **5**, **6**, **7** (–2,66; –2,96; –2,08) по сравнению с **КР4** (δ_P =20,98 м.д) указывают на изменения в экранировании ядер фосфора с образованием связей Р–О \rightarrow Rh одного типа для всех атомов Р макроциклов и симметричное строение продуктов, что подтверждается в ИКС нерасщепленной интенсивной

полосой поглощения v(P=O) (табл. 3 *см. ранее*). При этом, в ИКС соединений 5–7 изменяются частоты валентных колебаний фосфорильной группы, а также ее окружения v(P=O), v(POEt), v(ArP) (табл. 3) [49] Частоты $v(OH)_{rez}$ претерпевает незначительные изменения, связанные только с перестройкой системы ММВС и ВМВС и появляются частоты, указывающие на присутствие свободных гидроксигрупп.

Координация к ионам родия по аксиальной оси разных фрагментов лиганда в 6–7 вызывает разницу в значениях частот $v_{as}(Rh-O)$. Фрагменты [AcO] сохраняются. На связи Rh-Rh указывают линии средней интенсивности в СКР в области $300-100~{\rm cm}^{-1}$, которые по экспериментальным и расчетным данным находятся в этом интервале волновых чисел для одинарной связи в кластерах [Rh₂(AcO)₄] [55, 59] (табл. 3 см. ранее). На сохранение кластеров (Rh^{II})₂ указывают также результаты ЭСП (табл. 4 *см. ранее*) [55, 59, 60].

Для **5** в ЭСП наблюдаются λ_{max} , которые соответствуют электронным переходам в пределах параметра расщепления d-уровня октаэдрических комплексов Rh^{III} (табл. 4 *см. ранее*) [31].

Таким образом, в соединении **5** полимерная цепь хлорокомплексов родия связывается с каликсрезорциновой матрицей через кислород фосфорильных групп с образованием разветвленной структуры (рис. 5 *см. ранее*). Структурные единицы соединения **4** формируются в виде капсул. Поэтому температура плавления **4** (195°C) выше, чем у **5** (150°C). В соединении **7** образуются межмолекулярные и внутримолекулярные связи между группой P=O и [Rh₂(OAc)₄], поэтому между температурами плавления (200°C) и разложения (275°C) наблюдается разрыв. При этом **6** плавится с разложением (235°C), что объясняется образованием только межмолекулярных связей между группами P=O и [Rh₂(OAc)₄].

Отметим, что капсульное строение комплекса **4**, образуемого в Me_2CO , также может быть использовано при выделении родия из сложных технологических растворов.

Процессы сохранения связи по фосфорильной группе

Следует рассмотреть процессы сохранения связи по фосфорильной группе в реакциях, где в качестве исходного соединения выступает комплекс 2. Соединение 2 является биядерным нейтральным комплексом, в котором чаще наблюдается замещение молекул воды по аксиальной оси с сохранением кластера (Rh^{II})₂ [55].

Так, в реакциях соединений **2** и **КР4** как в ЕtOH, так и в Me₂CO, происходит именно комплексообразование по аксиальной оси с замещением молекул воды и сохранением связи Rh–Rh. Аналогичные процессы протекают, например, и при взаимодействие **2** с дибензо-краун-эфирами (Д**БКЭ**) с введенными в симметрично расположенные фениленовые группы различных экзоциклических фрагментов (диэтоксифосфорил-, нитро-, аминогрупп) (рис. 7) [22, 29]: происходит замещение молекул воды с образованием связей по вышеперечисленным донорным группам.

$$\begin{array}{c} (a) \\ (b) \\ (b) \\ (c) \\ (c) \\ (c) \\ (d) \\$$

Рис. 7. Структурные формулы Д**БКЭ** с различными экзоциклическими фрагментами: (a) *trans-*Д**БКЭ8** {R=P(O)(OEt)₂}; (b) *cis-*Д**БКЭ9** {R = NO₂}; (b) *cis-*Д**БКЭ10** {R = NH₂} **Fig.** 1. Structural formulas of DBCE with various exocyclic fragments: (a) *trans-*Д**БКЭ8** {R=P(O)(OEt)₂}; (b) *cis-*Д**БКЭ9** {R = NO₂}; (b) *cis-*Д**БКЭ10** {R = NH₂}

В результате реакций наблюдается дифференцирование донорных центров по степени жесткости/мягкости. При этом для взаимодействия 2 с функционализированными ДБКЭ и выделения продуктов в твердом виде определяющую роль играет соотношение реагентов и свойства растворителя.

В частности, при взаимодействии **2**: ДБКЭ**8**=2: 1 в EtOH с выходом 47% образуется комплекс **8** голубого цвета с т.пл./т.разл. 200/210°C *по схеме*:

$$\begin{split} n[Rh_2(AcO)_4\cdot 2H_2O] + (m+2)EtOH \to \\ 2H_2O + n[Rh_2(AcO)_4\cdot 2EtOH] + (m)EtOH + ДБКЭ8 \to \\ (m+2)EtOH + \{[Rh_2(AcO)_4][(H_2O)_2\cdot (ДБКЭ8)][Rh_2(AcO)_4]\}_n (продукт 8). \end{split}$$

Комплекс **8** нейтрального типа (χ =5,35 μ S, для — Me₂CO–4,7 μ S) и его выход составляет 47% [22]. В реакциях соединения **2** с *cis*-ДБКЭ9 и *cis*-ДБКЭ10 в твердую фазу выделяются соответственно продукты **9** и **10** (*cis*-ДБКЭ9, *cis*-ДБКЭ10 = CR) по схеме:

$$2\mathbf{CR}+[\mathrm{Rh_2(AcO)_4\cdot 2H_2O}]+$$
 $n\mathrm{EtOH} \rightarrow \{\mathbf{CR\cdot}[\mathrm{Rh_2(AcO)_4}]\ \mathbf{CR}\}_\mathrm{m}\cdot(\mathrm{m+2})\mathrm{H_2O}\cdot n\mathrm{EtOH}.$ продукты **9** и **10**

Продукты 9 и 10 соответственно сине-голубого ($T_{nn} = 270^{\circ} C$) и краснофиолетового ($T_{\pi\pi} = 237$ °C) цветов образуются с выходом ~ 35% и 30% соответственно. Отличием соединений 9–10 от 8 является отсутствие молекул воды в полости краун-кольца, на, что указывают результаты элементного анализа. Отсутствие молекул воды объясняется тем, что очевидно при связанных c определением элементного операциях, состава, пересольватируется либо молекулы воды испаряются. Однако ИКС указывают на присутствие молекул воды. Этот факт объясняется тем, что после замещения молекул воды в 2 на молекулы EtOH при синтезе, молекулы воды не входят в полость краун-кольца, а смешиваясь с молекулами EtOH, обволакивают внешнесферно оболочку CR как межкристаллитные слои и образуют клатраты [29], что не противоречит литературным данным [61–63].

При этом наличие (**P–C**) связей в молекулах краун-эфиров затрудняет окислительную деструкцию макроцикла при повышении температуры и позволяет выделить устойчивые твердые комплексы при взаимодействии соединения **1** с Д**БКЭ8**. Этанольная среда подавляет гидролиз соединения **3**. При взаимодействии **3**: Д**БКЭ8** = 1: 2 в среде $EtOH+CHCl_3$ с выходом 43,5% *по схеме*, в которой соединение **3** записано как $(H_3O)^+\cdot[Rh_nCl_{3n+3}\cdot H_2O]$, образуется

темно-коричневый ионный продукт **8a** ($\chi = 52\mu S$; для Me₂CO – $\chi = 4.7\mu S$) с T_{пл} = 226°C:

$$H_3O^+\cdot[Rh_nCl_{3n+3}\cdot H_2O] + EtOH + CHCl_3 \rightarrow H_3O^+\dots CHCl_3 + ДБК'Э8 + $^+EtOH\dots[Rh_nCl_{3n+3}\cdot H_2O]^{3-}\dots EtOH \rightarrow CHCl_3 + EtOH + 2[RhCl_4\cdot OH_2]^- + ДБК'Э8\cdot 2H_3O^+ \rightarrow CHCl_3 + EtOH + {[RhCl_4\cdot OH_2][(H_3O)_2^+\cdot CR5][RhCl_4\cdot OH2]}_n (продукт 8a).$$$

Ряд физико-химических характеристик продуктов **8**, **8a**, **9**, **10**, доказывающих состав и строение, представлен в экспериментальной части статьи.

Возвращаясь к реакциям с **КР** следует отметить, что соединение **2** при взаимодействии с аминофункционализированными **КР11– КР13** также образует продукты, в которых наблюдается замещение молекул воды по аксиальной оси с сохранением кластера (Rh^{II})₂ [20, 27, 28] (рис. 8).

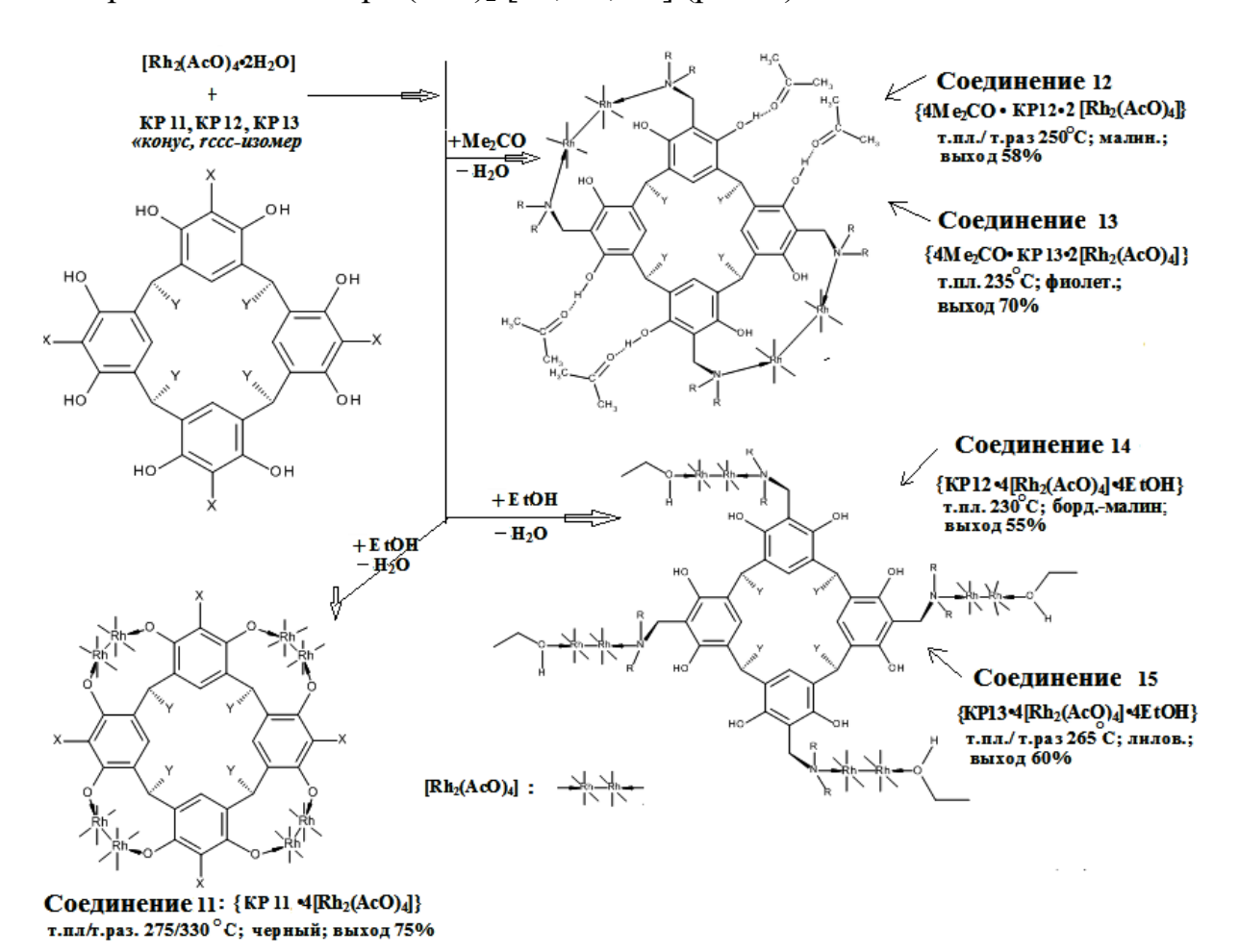


Рис. 8. Схема образования продуктов в реакциях соединения 2 с **КР11–КР13** в **Me₂CO** и **EtOH** и структурные формулы продуктов **11–15**: **КР11** (фиолет., $T_{пл}$ =211°C): X = H, $Y = R^4 = Ar-NMe_2$; **КР12** (красно-оранж., $T_{пл}$ = 225°C): $X = R^5 = CH_2-NMe_2$; **КР13** (оранж., $T_{пл}$ = 230°C): $X = R^6 = CH_2-NEt_2$. В **КР12** и **КР13** – Y = Ar или Y = Ar-Me

Fig. 8. Scheme of the formation of products in the reactions of compound **2** with **KR11-KR13** in Me₂CO and EtOH and structural formulas of products **11**–1**5**. **KR11** (violet, T_{melt} = 211°C): X = H, $Y = R^4 = Ar-NMe_2$; **KR12** (red-orange, T_{melt} =225°C): $X = R^5 = CH_2-NMe_2$; **KP13** (orange, T_{melt} =230°C): $X = R^6 = CH_2-NEt_2$. In **KR12** and **KR13** – Y = Ar or Y = Ar-Me

При этом, наличие различных донорных центров (аминогруппы, гидроксигруппы, π-электронная полость), а также конкуренция между ионами родия и молекулами растворителя приводит к дифференцированному комплексообразованию с формированием разных по составу и строению комплексов с одинаковыми лигандами: в Me₂CO – комплексы 12, 13 и в EtOH – комплексы 14, 15.

Длина аминоалкильного радикала в **КР** на состав продуктов не влияет. В частности, с **КР12** и **КР13** в Me₂CO образуются продукты близкого состава (12, 13), так и в EtOH с **КР12** и **КР13** образуются продукты близкого состава (14, 15) Однако немаловажное значение имеет расположение аминофрагментов относительно плоскости молекулы лиганда. Так, реакция соединения 2 с **КР11**, имеющим аминорадикалы по нижнему ободу молекулы, только в EtOH приводит к образованию твердого продукта 11. Причиной является способность к структурированию **КР** в Me₂CO с образованием гетеромолекулярных ассоциатов и при этом, очевидно, происходят разные процессы, например, образование агрегатов или ассоциатов разнообразного состава с включением неподеленной электронной пары атома азота либо с атомами водорода [64–67].

Взаимодействие соединения **1** с аминосодержащими **КР** рассмотрено на примере **КР12**. В Me₂CO выделен продукт **16** (рис. 9 *см. далее*) [24].

Рис. 9. Схема образования продукта **16**.

Fig. 9. Scheme of the formation of products 16.

В **EtOH** при взаимодействии соединений **KP12** и **1** образуется продукт **17** [23]: $\mathbf{KP12} + \mathbf{RhCl_3} \cdot \mathbf{nH_2O} \xrightarrow{\text{EtOH}} \{\mathbf{KP12} \cdot [\mathbf{Rh_4Cl_{12}(OH_2)_4}]\}.$

Результаты квантовохимических расчетов

Согласно квантовохимическим расчетам максимально протонированная форма **КР12** в **17** термодинамически выгодна (–225,94 кДж/моль) и протонированные диметиламиногруппы **КР12** стабилизируют аквахлорокомплексы Rh(III) за счет совокупности электростатических взаимодействий с долей ковалентной и водородной составляющих связи [23]. Образуемый ансамбль представляет металлокавитанд или родиокавитанд (рис. 10), в котором длины

связей $r(Rh-N) = 3,775 \div 3,844 \text{Å}$, $r(C11-N) = 3,727 \div 3,769 \text{Å}$, $r(C12-N) = 3,041 \div 3,078 \text{Å}$ равнозначны. Поэтому атомы родия и хлора равноудалены от протонированного атома азота [68–70].

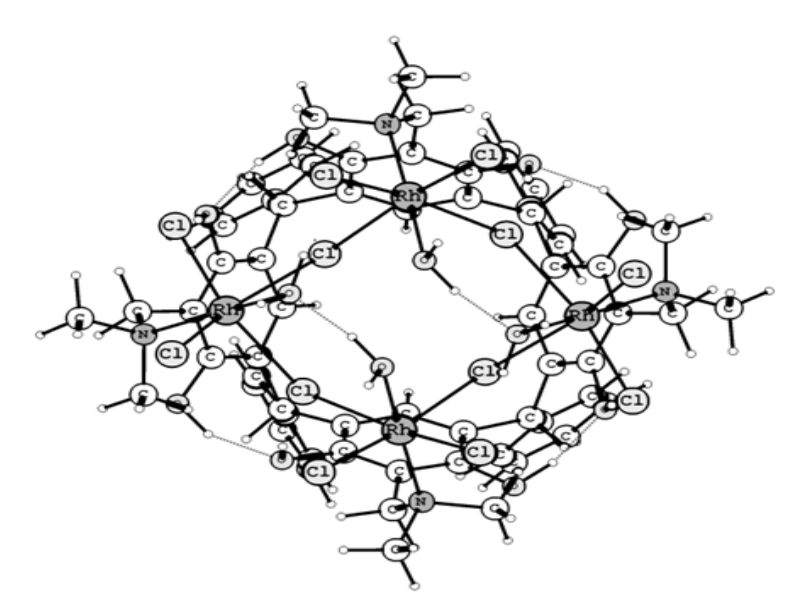


Рис. 10. Оптимизированная структура комплекса **17** (по данным физико-химических методов исследования и квантовохимических расчетов: вид сверху, непротонированная форма) [23].

Fig. 10. Optimized structure of complex 17 (according to physicochemical research methods and quantum chemical calculations: top view, unprotonated form) [23].

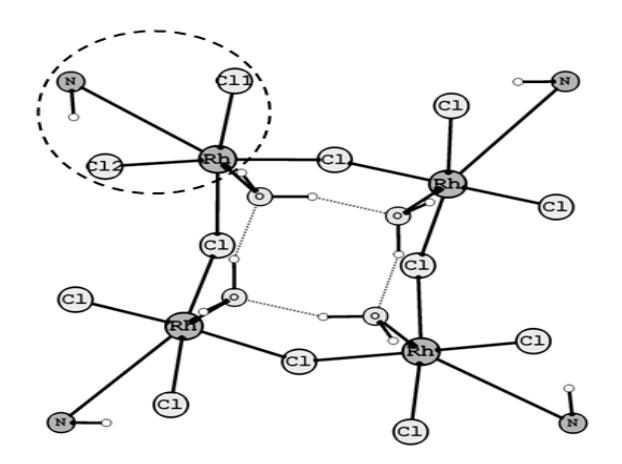


Рис. 11. Фрагмент родийсодержащей оптимизированной структуры максимально протонированного (четырехпротонированного) комплекса **17** (*вид сверху*) [23].

Fig. 11. A fragment of rhodium-containing optimized structure of the maximally protonated (four protonated) complex 17 (top view) [23]

Фрагмент родийсодержащей структуры, входящей в состав комплекса 17 в термодинамически стабильной четырёхпротонированной форме комплекса представлен также на рисунке 11. Данные РСтА соединений, близких по строению с 17, согласуются с полученными для 17 данными по длинам связей $r(C12-H) = 2,050 \div 2,106$ Å и валентным углам $\angle(C12-H-N) = 153,1 \div 157,5$ ° [71–73]. Ряд физико-химических характеристик продуктов 11–17, доказывающих

состав и строение, представлен в экспериментальной части статьи и ниже в таблице 5.

Таблица 5. Характеристические частоты в ИК спектрах для соединений 11–17, **КР11–КР13** *Table 5.* Characteristic frequencies in the IR spectra for compounds 11–17, **КР11–КР13**

ИКС, см ⁻¹	ν(OH) _{REZ} ; ν(Ar)	ν _{as} (CCO), ν _s (CCO) /ν(CN),	$v(Ar), v(CH)_{CH},$ $v(C_{Ar}O), \delta(CH)_{Ar},$ $v(CC)/$ $\delta(CH)_{Ar}^{\text{HeIII}}, v(Ar),$ $v(COC), v(CC)$	$ v_{as}(CH_3) + \delta_{as}(CH_2); $ $ \delta(CH); \delta_s(CH_3) + $ $ \omega(CH_2), \tau(CH_2) + $ $ \delta(CH) + \nu(C-O) $	$ \begin{array}{c} [\delta(CCC)_{Ar},\\ \delta(CCO)_{Ar}+\\ +rot(Ar)]/\\ \delta(OCO)_{Ac}; \end{array} $
КР11	3581, 3222; 1601, 1505	- /1212, 1090.	1181, 1157, 1143/846.	1456; 1420;1377, 1350; 1300, 1282.	632, 601, 551, 532.
11	3442–3580 1589, 1520	1548,1417/ 1212,1089	1180, 1165, 1142/812	1435, 1417, 1250	628, 560/ 700
КР12	3200–3600; 1608, 1582, 1505	-/1212, 1090	1181, 1157, 1143/846	1464; 1420; 1376, 1350; 1300, 1288.	632, 601, 551
12	3220-3320ш, 3450-3550сл ; 1589, 1520	1548,1417/ 1190	1181, 1157, 1143/846	1435, 1417, 1250	601, 551/ 704
14	3442, 3450–3580; 1589, 1520	1548,1417/ 1229,1089	1180, 1165, 1142/ 812	1435, 1417, 1250	628, 560/ 700
16	3428; 1601, 1551, 1493	/1126, 1190; v(O–O): 1027	1186,1163,1140 / 825	1471, 1410; 1384, 1338; 1288, 1248	/553
17	3290, 3380, 3430, 3510; 1601, 1520	/1220, 1090	1181,1167,1143/ 846	1452, 1410; 1380, 1338; 1286, 1250	/632, 560
КР13	3250-3600; 1608, 1582, 1505	-/1192,948	1185, 1162, 1143 / 846	1464; 1420; 1377, 1348; 1304, 1285.	632, 600, 556, 530
13	3200–3300ш, 3450–3580сл; 1589, 1520	1518, 1377/ 948	1186, 1163, 1140/847	1435, 1417, 1250	601, 551/ 704
15	3390,3450, 3450–3580; 1591, 1515	1545, 1419/ 1232, 947	1186, 1160, 1140/825	1435, 1417, 1250	622, 565/ 706

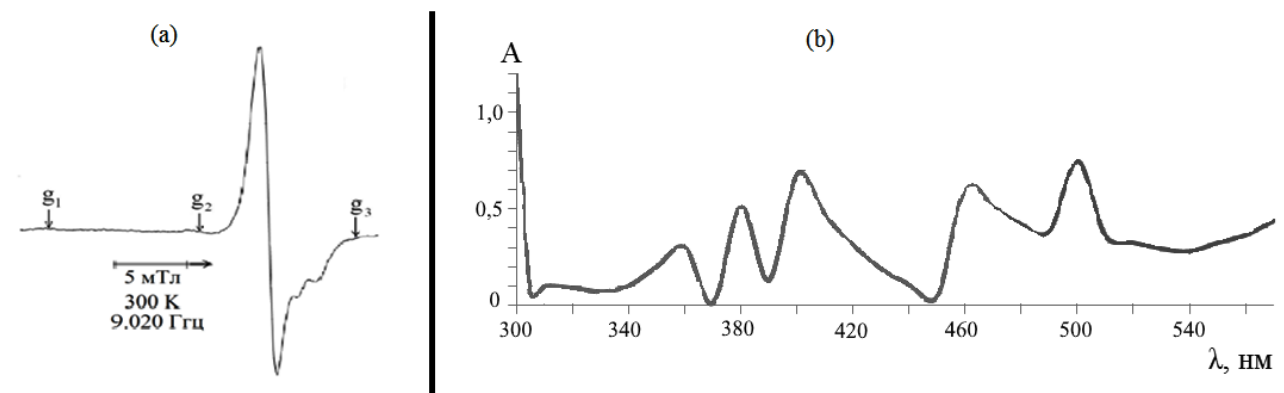
Функциональные свойства комплекса 16

Подробнее рассмотрим комплекс 16, поскольку среди продуктов 12, 14, 16—17, синтезированных на основе **KP12**, комплекс 16 обладает наиболее эффективной каталитической, а также бактерицидной и антиоксидантной активностями [15, 45] (рис. 9). В частности, каталитические свойства соединения 16 исследованы [15] при изучении кинетики гомогенного дегидрирования муравьиной кислоты в однородных и смешанных средах (диоксан, тетрагидрофуран, диметилформамид и формамид: диоксан в

соотношении 10: 90, 20: 80, 30: 70 об.%) в широком интервале температур (40-90 Установлено, что соединение **16** является дегидрирования. Найдены оптимальные условия его применения: температура 60° С, концентрация $2.5 \cdot 10^{-4}$ М, состав среды – формамид: диоксан = 20: 80 об. %. Каталитическая активность 16 на порядок выше по сравнению с изученными ранее соединениями родия, например, в [73]. Установлено [15], что реакция протекает по уравнению псевдопервого порядка и имеет первый порядок по одному координационному центру катализатора. В начале каталитического цикла при переходе катализатора в раствор происходит быстрое замещение пероксид-иона молекулой растворителя и далее присоединение формиат-иона с уходом хлорид-иона.

КР12 и **16** также рекомендованы в качестве эффективных бактерицидов в зоне низких концентраций 0,01–0,09 г/л при биодеградации нефти и бактерицидная активность при концентрации 0,1 г/л составляет соответственно 94% и 100%. **КР12** и **16** интенсифицируют рост СВБ *Desulfobacter* при концентрациях ниже 0,01 г/л и выше 0,09 г/л. **КР12** и **16** рекомендованы в качестве эффективных ингибиторов биокоррозии при концентрации 0,1 г/л. Однако эффект ингибирования окисления неравномерный, но положительный в течение 12-дневного цикла роста СВБ [39].

Мы полагаем, что эффективные функциональные свойства соединения **16** связаны с его парамагнитными свойствами (рис. 12a).



Puc. 12. Спектр ЭПР (а, кристал. образец) [24] и ЭСП (b, 300–560 нм) комплекса **16** *Fig. 12.* EPR spectrum (a, crystal sample) [24] and ESP (b, 300–560 nm) of complex **16**

В спектре ЭПР (рис. 12а) продукта **16** обнаружен сигнал от системы с неспаренным электроном, отнесенный согласно ряду источников [74–79] по виду и значениям g-факторов ($\mathbf{g_1} = 2,103$, $\mathbf{g_2} = 2,034$, $\mathbf{g_3} = 1,970$, $\langle \mathbf{g} \rangle = 2,036$) к системе [$\mathbf{Rh^{III}}(\mathbf{O_2^-})$]. Результаты по g-факторам: свободного резорцид-радикала $\langle \mathbf{g} \rangle = 2,0038$ [51], моноядерных комплексов Rh(II) ($\langle \mathbf{g} \rangle = 2,2$ и выше) [54, 52] и катион-радикалов вида ($\mathbf{Rh_2}$) и ($\mathbf{Rh_2}$) [55–58] подтверждают вышеприведенный вывод. Образование связей Rh–O–O подтверждено также результатами ИКС (см. табл. 5), поскольку частота \mathbf{v} (O–O) находится ~ 1027 см⁻¹ и характерна для пероксид-иона. В то же время для аддукта молекулярного кислорода частота \mathbf{v} (O–O) наблюдается в интервале 1555–1580 см⁻¹ [32]. В СКР частота \mathbf{v} (О–O) присутствует в виде интенсивной синглетной линии 1030 см⁻¹. Поэтому с

понижением порядка связи и превращением дикислорода в пероксид-ион значение частоты ν (O–O) понижается.

Кроме того, сравнительный анализ растворов **16** в DMSO и MeOH с модельными системами $M(O_2^-)$ [31, 75] выделяет в ЭСП полосы поглощения внутрилигандных переходов ($\lambda_{max} \sim 230$, 245, 280 нм), высокоэнергетические полосы поглощения радикальной системы – 400, 460, 500 нм (рис. 12b). Полосы поглощения (d–d) переходов малоинтенсивны и закрыты полосами поглощения. ПЗ ($\lambda_{max} \sim 310$, 360, 380 нм). Невысокие значения **<g>** в **16** указывает на существенный вклад орбиталей O_2^- в орбиталь неспаренного электрона [52].

Спектры ЭПР с ромбичностью (g_1 , $g_2 > 2$, $g_3 < 2$) наблюдаются для ряда пероксокомплексов Rh(III) с азотсодержащими макроциклами, насыщенными электронной плотностью [75, 76, 78]. По данным ЭПР можно заключить, что комплекс **16** имеет ромбическое искажение координационного полиэдра. Таким образом, за счет локализации неспаренного электрона на орбиталях пероксидиона электронная конфигурация Rh(III) стабилизируется.

Продукт **15** (рис. 8) также является парамагнитным, однако его функциональные свойства по сравнению с соединением **16** выражены незначительно. Очевидно, причина кроется в электронном строении комплекса **15**, что подробно описано в [20]. В спектре ЭПР **15** (рис. 13b) присутствует сигнал резорцид-радикала с g = 2,0038 и шириной 12 Э [51] и сигнал родиевого комплекса с g_1 =2,105, g_2 =2,031, g_3 =1,974 (<g>> 2,037, A_3 =24 Э – константа СТС от атомов родия). В комплексе **15** наблюдается ромбическое искажение координационного полиэдра (g_1, g_2 > 2, g_3 < 2).

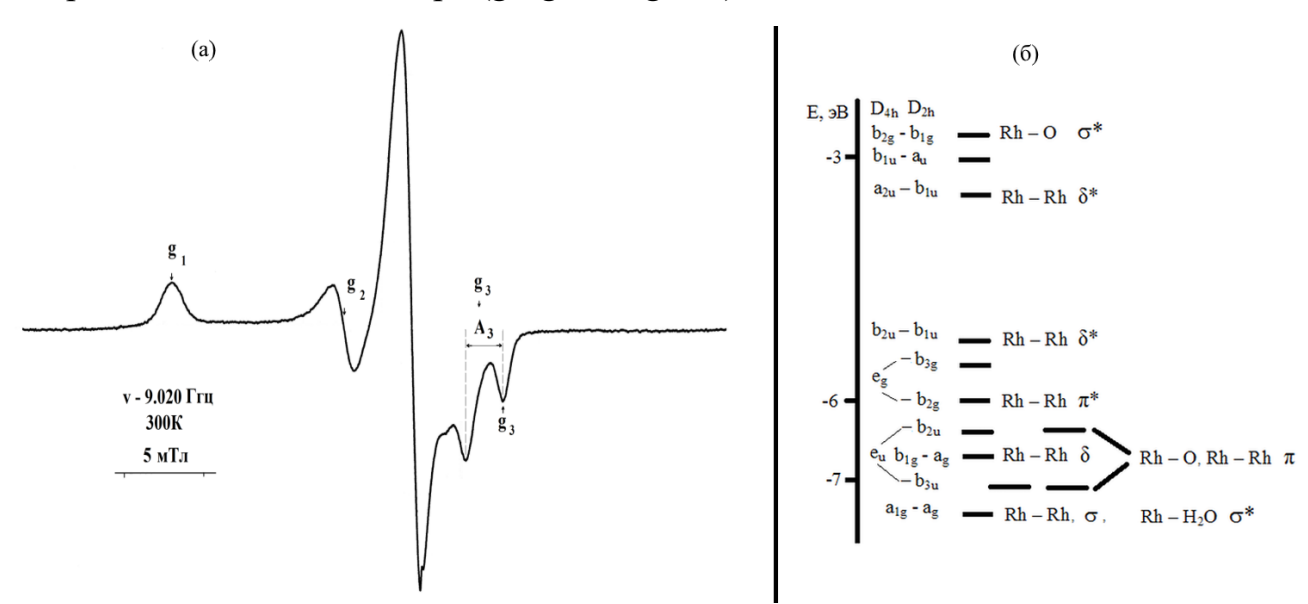


Рис. 13. Спектр ЭПР комплекса **15,** кристаллический образец (a) [20]; схема энергетических уровней в соединение **2** [80, 81] (b).

Fig. 13. EPR spectrum of complex 15, crystalline sample (a) [14]; diagram of energy levels in compound 2 (b) [80, 81].

Согласно ряду источников [55, 52, 54, 56–58] в мономерных комплексах Rh(II) и в димерных катион-радикальных системах $(Rh^{II})_2$ g-фактор имеет большее значение и основным состоянием является d_{z2} с аксиальным

искажением координационного полиэдра. Следовательно, мономерный комплекс Rh^{II} в изучаемой нами реакции не образуется. Кроме того, спектральные характеристики (ИКС, СКР, ЭСП) указывают на присутствие связи Rh–O в ацетатных группах, и отсутствие частицы (O_2^-) со связью O–O, а также на сохранение связей Rh–Rh.

В соединении **15** значение <g> 2,037 приближено к чисто спиновым [51], незначительная величина СТС (A_3 =24 Э) указывает на существенный вклад орбиталей лиганда в орбиталь неспаренного электрона, что указывает на частичный перенос электронной плотности с металла на лиганд.

Каликс[4] резорцины относятся к π -системам и для стабилизации часто образуют анион-радикалы типа *резорцид-радикалов*: $(Rez^{\bullet})^-$ или аналогично (O-Ar-O) [51]. В то же время аминофункционализированные по верхнему ободу **КР** существуют в растворе ЕtOH в форме цвиттер-иона [23], которая облегчает процессы одно- или двухэлектронного переноса и стабилизацию продуктов электронного переноса. При этом электронная структура соединения **2** такова, что связывающие σ , π , δ и разрыхляющие δ^* , π^* молекулярные орбитали, отвечающие взаимодействию Rh–Rh, заполнены $[\sigma^2 \pi^4 \delta^2 \delta^{*2} \pi^{*4}]$, за исключением $4a_{2u}$ (σ^*) (рис. 13b) [80, 81]. Очевидно, при кристаллизации происходит перенос электронной плотности **КР13** на вакантные орбитали $4a_{2n}$ молекул соединения 2. В результате анион-радикальная система КР13 стабилизирует биядерный фрагмент Rh^{II} – Rh^{II} и образует с ним комплекс. В ряде работ [55, 82] высказывается мнение о стабилизации промежуточных состояний окисления ионов родия за счет анион-радикальной системы макроциклов. Причем, для комплекса 14 подобный эффект не наблюдается и проявляется только в комплексе 15, что может объясняться большей стерической диэтиламиновыми загруженностью, создаваемой группами приводящей в результате к образованию в EtOH более устойчивого цвиттериона.

ЗАКЛЮЧЕНИЕ

Результаты исследований по сравнительной оценке влияния каликс[4]резорцинов и дибензо-18-краун-6, функционализированных гидроксиэтокси-, фосфорил-, амино- и нитрогруппами на состав продуктов, которые образуются при их взаимодействии с акватрихлоридом родия (III) и диакватетраацетатом диродия (II) в органических средах показали, что на состав продуктов основное влияние оказывают свойства растворителя.

Наблюдаемая взаимосвязь между функциональными свойствами комплексных соединений, составом и строением открывает возможность для получения соединений с заранее программируемыми свойствами.

Исследованные закономерности по влиянию органических сред на выделение термодинамически стабильных продуктов в твердую фазу в виде супрамолекулярных комплексов родия разнообразного состава и строения открывают широкие перспективы для управления процессами минимизации потерь родия в отходах химической промышленности, связанной с

соединениями, участвующими в катализе и проводимых в неводных органических средах.

КОНФЛИКТ ИНТЕРЕСОВ

Авторы заявляют об отсутствии конфликта интересов.

CONFLICT OF INTERESTS:

The authors declare no conflict of interests.

Список литературы:

- 1. Takano Sh., Kochi T., Kakiuchi F. (2016). Synthesis and Reactivity of Phosphine-Quinolinolato Rhodium Complexes: Intermediacy of Vinylidene and (Amino)carbene Complexes in the Catalytic Hydroamination of Terminal Alkynes. *Organometal.*, *35*(24), 4112–4125. https://doi.org/10.1021/acs.organomet.6b00853.
- 2. Farrell N.P. (2015). Multi-Platinum Anticancer Agents. Substitution-Inert Compounds for Tumor Selectivity and New Targets. *Chem. Soc. Rev.*, *44*, 8773–8785. https://doi.org/10.1039/c5cs00201j https://doi.org/10.1002/ejoc.201601125.
- 3. Palmer A.M., Knoll J.D., Turro Cl. (2015) Photoinduced interactions of two dirhodium complexes with d(GTCGAC)₂ probed by 2D NOESY. *Dalton Trans.*, *44*(8), 3640–3646. https://doi.org/10.1039/C4DT03119A.
- Чепайкин Е.Г. (2011). Гомогенный катализ в окислительной функционализации алканов в протонных средах. Успехи химии, 80(4), 384–416. https://doi.org/10.1070/RC2011v080n04ABEH004131.
- 5. Князева И.Р., Бурилов А.Р., Пудовик М.А., Хабихер В.Д. (2013). Фосфорсодержащие макроциклические соединения: синтез и свойства. *Успехи химии*, 82(2), 150–186. https://doi.org/10.1070/RC2013v082n02ABEH004296.
- 6. Джайн В.К., Канайя П.Х. (2011). Химия каликс[4]резорцинаренов. *Успехи химии*, 80(1), 77–106. https://doi.org/10.1070/RC2011v080n01ABEH004127.
- 7. Якшин В.В., Вилкова О.М., Плужник-Гладырь С.М., Котляр С.А. (2010). Краун-эфиры в экстракции и сорбции. І. Бромпроизводные бензо- и дибензокраун-эфиров в процессах сорбции элементов из кислых водных растворов. *Макрогетероциклы /Macroheterocycles*, 3(2–3), 114–120.
- 8. Громов С.П., Дмитриева С.Н., Чуракова М.В. (2005). Фенилаза и бензоазакраунсоединения с атомом азота, сопряженным с бензольным кольцом. *Успехи химии*, 74(5), 503–532. https://doi.org/10.1070/RC2005v074n05ABEH001163.
- 9. Антипин И.С., Алфимов М.В., Арсланов В.В., Бурилов В.А., Вацадзе С.З., Волошин Я.З., Волчо К.П., Горбачук В.В., Горбунова Ю.Г., Громов С.П., Дудкин С.В., Зайцев С.Ю., Захарова Л.Я., Зиганшин М.А., Золотухина А.В., Калинина М.А., Караханов Э.А., Кашапов Р.Р., Койфман О.И., Коновалов А.И., Коренев В.С., Максимов А.Л., Мамардашвили Н.Ж., Мамардашвили Г.М., Мартынов А.Г., Мустафина А.Р., Нугманов Р.И., Овсянников А.С., Падня П.Л., Потапов А.С., Селектор С.Л., Соколов М.Н., Соловьева С.Е., Стойков И.И., Стужин П.А., Суслов Е.В., Ушаков Е.Н., Федин В.П., Федоренко С.В., Федорова О.А., Федоров Ю.В., Чвалун С.Н., Цивадзе А.Ю., Штыков С.Н., Шурпик Д.Н., Щербина М.А., Якимова Л.С. Супрамолекулярные функциональные системы: дизайн и области применения. Успехи химии, 90(8), 895-1107. https://doi.org/10.1070/RCR5011.
- 10. Bauder C., Sémeril D. (2019). Styrene hydroformylation with cavity-shaped ligands. *J. Eur. Inorg. Chem.*, 2019 (47), 4951–4965. https://doi.org/10.1002/ejic.201900974

- 11. Chavagnan T. Bauder C., Semeril D., Matt D., Toupet L. (2017). Substrate-Selective Olefin Hydrogenation with a Cavitand-Based Bis(N-anisyl iminophosphorane). *Eur. J. Org. Chem.*, 2017 (1), 70–76. https://doi.org/10.1002/ejoc.201601125.
- 12. Garcia-Simon C., Gramage-Doria R., Raoufmoghaddam S., Parella T., Costas M., Ribas X., Reek J. N. H. (2015). Enantioselective Hydroformylation by a Rh-Catalyst Entrapped in a Supramolecular Metallocage. *J. Am. Chem. Soc.*, *137*(7), 2680–2687. https://doi.org/10.1021/ja512637k.
- 13. Глушко В.Н., Блохина Л.И., Жила М.Ю. (2019). Синтез макрогетероциклических соединений и их аналогов из класса краун-эфиров и их применение для селективной экстракции радиоактивных отходов. *Химическая безопасность*, *3*(1), С. 49–55. https://doi.org/10.25514/CHS.2019.1.15003.
- 14. Торгов В.Г., Костин Г.А., Машуков В.И., Корда Т.М., Драпайло А.Б., Касьян О.В, Кальченко В.И. (2008). Экстракция палладия(II) серосодержащими каликс[4,6]аренами из солянокислых сред. *Журн. неорг. химии*, *53*, 1932–1939.
- 15. Гусева Е. В., Фесик Е. В., Потапова А. В. (2022). Каталитическая активность супрамолекулярных диметиламино- и дифенилфосфиносодержащих пероксодихлорокомплексов Rh^{III} на примере изучения кинетики гомогенного дегидрирования муравьиной кислоты. *Макрогетероциклы*, *15(3)*, 195–203. https://doi.org/10.6060/mhc224591g.
- 16. Гусева Е.В., Потапова А.В., Сайфутдинов А.М., Наумова А. А., Половняк В. К. (2012). Кинетика гомогенного дегидрирования муравьиной кислоты в присутствии супрамолекулярного комплекса родия(III) с Р-функционализированным каликс[4]резорцином. Журн. общей химии, 82(5), 719–726.
- 17. Brodsky B.H., Du Bois J. (2006). Entrapment of a dirhodium tetracarboxylate unit inside the aromaticbowl of a calix[4]arene: Unique catalysts for C-H amination? *Chem. Commun.*, 4715–4717. https://doi.org/10.10391b611280c.
- 18. Гусева Е.В., Давлетшина Л.Ф., Идиятуллова З.З. (2019, март). Исследование 2-гидроксиэтокси-производного каликс[4]резорцина в реакциях с $RhCl_3 \cdot nH_2O$, $H_2PtCl_6 \cdot nH_2O$ и $PtCl_4$. Тенденции развития науки и образования, часть 6(48), 63–67. https://doi.org/10.18411/lj-03-2019-130.
- 19. Гусева Е.В., Буслаева Т.М., Половняк В.К. (2016). Комплексообразование родия с фосфорилсодержащим каликс[4] резорцином. Журн. неорг. химии, 61(11), 1490–1499.
- 20. Гусева Е.В., Буслаева Т.М., Гришин Е.И. (2016). Комплексообразование диродия(II) с N-функционализированными каликс[4] резорцинами. И3 ϵ . AH, Cep. Xum., (10), 2485–2493.
- 21. Гусева Е.В., Потапова А.В. (2013). Взаимодействие Р-функционализированного каликс[4]резорцина с солями различных 4d- и 5d-металлов. *Вестник Казан. технол. унта, 16*(13), 21–27.
- 22. Гусева Е.В., Наумова А.А., Каримова Д.Т., Соколова А.В., Гаврилова Е. Л., Бусыгина Т. Е. (2012). Взаимодействие трихлорида родия и ацетата диродия(II) с транс-4,4'- бис(диэтоксифосфорил)бифенил-18-краун-6. Журн. общей химии, 82(1), 3–10.
- 23. Гусева Е.В., Морозов В.И., Зинкичева Т.Т., Волошина А.Д., Гришин Е.И. (2012). Комплексы родия(III) с N-функционализированным каликс[4]резорцином. *Журн. общей химии*, 82(8), 1233–1243.
- 24. Гусева Е.В., Морозов В.И., Гаврилова Е.Л., Шаталова Н.И., Гришин Е.И. (2011). Взаимодействие трихлорида родия с N-функционализированным каликс[4]резорцином в ацетоне. Журн. общей химии, 8I(10), 1585–1590.
- 25. Гусева Е.В., Касымова Э.М., Егоров Г.В., Каюпов А. Р., Хаматгалимов А. Р., Хасаншин Р. А., Бурилов А. Р. (2010). Исследование взаимодействия трихлорида родия с оксиэтилированным каликс[4] резорцином. *Журн. общей химии*, 80(3), 455–461.
- 26. Гусева Е.В., Каримова Д.Т., Гаврилова Е.Л., Наумова А.А., Половняк В.К., Красильникова Е. А. (2010). Взаимодействие трихлорида родия с Р-

СРАВНИТЕЛЬНАЯ ОЦЕНКА СОСТАВА И СВОЙСТВ СОЕДИНЕНИЙ РОДИЯ

- функционализированными каликс[4] резорцинами в различных средах. Журн. общей химии, 80(1), 51–63.
- 27. Гусева Е.В., Каримова Д.Т., Половняк В.К., Егоров Г.В., Гаврилова Е.Л., Шаталова Н.И., Морозов В.И. (2009). Комплексы диродия(II) с каликс[4]резорцинами функционализированными по нижнему и верхнему ободу молекулы различными N-содержащими фрагментами. Вестник Казан. Технолог. Ун-та, (5), 288–295.
- 28. Гусева Е.В., Гаврилова Е.Л., Наумова А.А., Морозов В.И., Шаталова Н.И., Каримова Д.Т., Половняк В.К. (2008). Комплексы карбоксилата диродия(II) с каликс[4]резорцинами функционализированными по верхнему и нижнему ободу молекулы Р,N-содержащими фрагментами. Журн. общей химии, 78(12), 1963–1971.
- 29. Гусева Е.В., Каримова Д.Т. (2008). Исследование комплексообразования карбоксилата родия(II) с цис-динитродибензо-18-краун-6 и цис-диаминодибензо-18-краун-6 в этаноле. Журн. общей химии, 78(1), 154–155.
- 30. Наумова А.А., Гусева Е.В., Гаврилова Е.Л., Шаталова Н.И., Каримова Д.Т., Красильникова Е. А. (2007). Изучение комплексообразования трихлорида родия с каликс[4]резорцинами функционализированными по верхнему и нижнему ободу P,N – содержащими фрагментами. *Вестник Казан. Технол. Ун-та*, (3-4), 32–36.
- 31. Ливер Э. (1987). Электронная спектроскопия неорганических соединений: в 2-х томах. Москва: Мир.
- 32. Nakamoto K. (2009). *Infrared and Raman Spectra of Inorganic and Coordination Compounds, P. B: Applications in Coordination, Organometallic and Bioinorganic Chemistry.* New York: Wiley.
- 33. Коновалов Л.В. (1984). Спектрально-структурное исследование валентных колебаний металл-хлор в комплексных соединениях платиновых металлов (Os, Ir, Ru, Rh). *Коорд. химия*, *10*(10), 1401–1406.
- 34. Legzdins P., Mitchell R.W., Rempel G.L. (1970). The protonation of Ruthenium and Rhodium bridged carboxylates and their use as homogeneous hydrogenation catalysts for unsaturated substaces. *J. Chem.Soc. A*, (3), 3322–3326. https://doi.org/10.1039/J19700003322.
- 35. Каюпов А.Р., Касымова Э.М., Бурилов А.Р., Пудовик М.А. (2010). Новые полиэфиры на каликс[4]резорциновой платформе. *Журн. общей химии, 80*(2), С.335–336.
- 36. HyperChem (Release 7.01 for Windows). Molecular Modeling System. (2002). Hypercube, Inc.
- 37. Гаврилова Е.Л., Наумова А.А., Бурилов А.Р., Пудовик М.А., Красильникова Е.А., Коновалов А.И. (2007). Синтез каликс[4]резорцинов с фосфоноиларильными заместителями на нижнем ободе молекул. *Изв.*. *АН*, *сер*. *хим.*, (11), 2269–2271.
- 38. Наумова А.А., Гаврилова Е.Л., Ходалова К.О., Гусева Е.В., Красильникова Е.А., Петрова М.М. Синтез 4,4'-бис(диалкоксифосфорил)бифенил-18-краун-6. (2009). Журн. общей химии, 79(8), 1404–1406.
- 39. Яцимирский К.Б., Кольчинский А.Г., Павлищук В.В., Таланова Г.Г. (1987). *Синтез макроциклических соединений*. Киев: Наук. Думка, С. 147–197.
- 40. Шаталова Н.И., Гаврилова Е.Л., Сидоров Н.А., Бурилов А.Р., Пудовик М.А., Красильникова Е. А., Коновалов А. И. (2009). Каликс[4]резорцины функционализированные аминокислотными остатками. Журн. общей химии, 79(7), 1137—1141.
- 41. Шаталова Н.И., Сидоров Н.А., Гаврилова Е.Л., Красильникова Е.А. (2007). Синтез аминометилированных каликс[4]резорцинов. *Вестник Казан. технолог. ун-та*, (3-4), 41–43.
- 42. Браун Д., Флойд А., Сейнзбери М. (1992). Спектроскопия органических веществ. Москва: Мир.
- 43. Потапов В.М. (1988). Стереохимия. Москва: Химия.
- 44. Гусева Е.В., Идиятуллова З.З., Давлетшина Л.Ф. (2019). Исследование лигандных свойств краун-эфиров (18-краун-6 и дибензо-18-краун-6) при взаимодействие с RhCl₃·nH₂O в апротонных и протонных растворителях. *Тенденции развития науки и образования, часть* 6(48), 59-62. https://doi.org/10.18411/lj-03-2019-130.

- 45. Гусева Е.В., Сахно Т.В., Кутлахметова А.Р., Фесик Е.В. (2022). Оценка бактерицидных и антиоксидантных свойств функционализированных каликс[4]резорцинов и комплексов родия на их основе. *Химическая безопасность*, *6*(1), 106–131. https://doi.org/10.25514/CHS.2022.1.21007.
- 46. Хадсон Р. (1967). *Структура и механизм реакций фосфорорганических соединений*. Москва: Мир.
- 47. Беляев А.В. Федотов М.А., Корсунский В.И., Венедиктов А.Б., Храненко С. П.(1984). О строении полиядерных хлоридов родия(III). *Коорд. химия*, *10*(7), 911–918.
- 48. Беляев А.В., Венедиктов А.Б., Храненко С.П. (1983). О природе хлоридов родия. *Коорд. химия*, *9*(1), 120–129.
- 49. Шагидуллин Р.Р., Чернова А.В. Виноградова В.С. (1984). Атлас ИК-спектров фосфорорганических соединений. Москва: Наука.
- 50. Нифантьев Э.В., Васянина Л.К. (1987). *Спектроскопия ЯМР*³¹*P*. М.: Типография Моск. Гос. Пед. Инс-т им. В.И. Ленина.
- 51. Янилкин В.В., Рыжкина И.С., Настапова Н.В., Паширова Т.Н., Бабкина Я.А., Бурилов А.Р., Морозов В.И., Коновалов А.И. (2003). Одноэлектронное окисление и нуклеофильность каликс[4] резорцинаренов. *Изв. АН. Сер. хим.*, (5),1082–1088
- 52. Ротов А.В., Жиляев А.Н. Барановский И.Б., Ларин Г.М. (1989). Влияние лигандов на электронное строение β -дикетонатных комплексов Rh^{II} по данным ЭПР. Журн. неорг. химии, 34(7), 1899–1901.
- 53. Абакумов Г.А., Черкасов В.К., Бубнов М.П., Абакумова Л.Г., Захаров Л.Н., Фукин Г.К. (1999). Новый семихинон-катехолатный комплекс родия с 2,2'-дипиридилом. *Изв. АН*, *Сер. хим.*, (9), 1784–1788.
- 54. Vrielinck H., Sabbe K., Callens F., Matthys P. (2001). Detection of charge compensating cation vacancies near Rh²⁺ complexes in AgCl and NaCl using Q-band ENDOR. *Phys. Chem. Chem. Phys.*, *3*(9), 1709–1716. https://doi.org/10.1039/b008244i.
- 55. Cotton F.A., Murillo C.A., Wolton R.A. (2005). *Multiple Bonds Between Metal Atoms*. New York: Springer Science and Business Media. P. 465–567, P. 707–796.
- 56. Kawamura T., Katayama H., Nishikawa H., Yamabe T. (1989). Ligand dependence of electronic configuration of the Rh-Rh bond in Rh₂⁵⁺ complexes as studied by electron spin resonance and electrochemistry. *J. Am. Soc.*, *111*(21), 8156–8160. https://doi.org/10.1021/ja00203a015.
- 57. Kawamura T., Fukamachi K., Soba T., Hayashida S., Yonezawa T (1981). Electronic structure of Rh-Rh bond in Rh₂(O₂CR)₄(PY₃)₂ by electron spin resonance study of their cation radicals. *J. Am. Chem. Soc.*, 103(2), 364–369. https://doi.org/10.1021/ja00392a021.
- 58. Kadish K.M., Phan T.D., Giribabu L., Caemelbecke E. V., Bear J. L. (2003). Substituent and isomer effects on structural, spectroscopic, and electrochemical properties of dirhodium(III, II) complexes containing four identical unsymmetrical bridging ligands. *Inorg. Chem.*, 42(26), 8663–8673. https://doi.org/10.1021/Ic034963L.
- 59. Сизова О.В., Иванова Н.В. (2006). Электронное строение и спектры тетракарбоксилатных комплексов родия(II). *Коорд. химия*, *32* (6), 461–467.
- 60. Bradley M.P., Bursten E.B., Turro C. (2001). Excited-State Properties of Rh₂(O₂CCH₃)₄(L)₂ (L = CH₃OH, THF, PPh₃, Py). *Inorg. Chem.*, 40 (6), 1376-1379. https://doi.org/10.1021/ic0009573.
- 61. Бельский В.К., Булычёв Б.М. (1999). Структурно-химические аспекты комплексообразования в системах галогенид металла—макроциклический полиэфир. *Успехи химии*, 68(2), 136–153. https://doi.org/10.1070/RC1999v068n02ABEH000459.
- 62. Баранников В.П., Гусейнов С.С., Вьюгин А.И. (2002). Молекулярные комплексы краунэфиров в кристалле и растворах. *Коорд. химия*, 28(3), 163–172.
- 63. Steinborn D., Gravenhorst O., Hartung H., Baumeister U. (1997). Synthesis, Reactivity, and Structure of [H₁₃O₆][PtCl₅(H₄O₂)]·2(18CR6): a crown ether complex of pentachloroaquaplatinic acid with an [H₁₃O₆]⁺ cation in cage of three crown ether molecules. *Inorg. Chem. 36*(10), 2195–2199. https://doi.org/10.1021/ic9614780.

- 64. Guseva E.V. Buslaeva T.M., Grishin E.I., Zinkicheva T.T. (2015). Influence of Solvents on Protolytic and Aggregation Properties of Aminomethylated Calix[4]resorcine. *Macroheterocycles*, 8(4), 415–423. https://doi.org/10.6060/mhc151081g.
- 65. Гусева Е.В., Гришин Е.И., Гришин П.В. (2015). Агрегационные свойства N-функционализированного каликс[4] резорцина в этаноле. *Вестник технолог. ун-та*, 18(20), 36–37.
- 66. Гусева Е.В., Гришин Е.И., Ситало А.В. (2015). Исследование самоорганизации аминосодержащего каликс[4]резорцина методом кондуктометрии. *Вестник технолог. унта, 18*(20), 45–46.
- 67. Гусева Е.В., Гришин Е.И., Потапова А.В., Гришин П. В. (2015). Исследование агрегационных свойств аминосодержащего каликс[4] резорцина методом динамического светорассеяния. *Вестник технолог. ун-та*, 18(20), 41–42.
- 68. Коновалов А.И., Антипин И.С., Мустафина А.Р., Соловьева С.Е., Подъячев С.Н. (2004). Дизайн и ионофорные свойства ряда макроциклических лигандов на основе каликсаренов *Коорд. химия*, 30(4), 243–262.
- 69. Peter F., Gross M., Hosseini M.W., Sessions R.B. (1981). Redox properties and stability constants of anion complexes. An electrochemical study of the complexation of metal hexacyanide anions by polyammonium macrocyclic receptor molecules. *J. Chem. Soc. Chem. Commun.*, (20), 1067–1068. https://doi.org/10.1039/C39810001067.
- 70. MacNicol D.D., MacKendrick J.J., Wilson D.R. (1978). Clathrates and molecular inclusion phenomena. *Chem.Soc.Rev.*, 7 (1), 65–87. https://doi.org/10.1039/CS9780700065.
- 71. Xu W., Rourke J.P., Vittal J.J., Puddephatt R.J. (1993). Anion inclusion by a calix[4]arene complex: A contrast between tetranuclear gold(I) and copper(I) complexes. *J. Chem. Soc., Chem. Commun.*, (2), 145-147. https://doi.org/10.1039/C39930000145.
- 72. Губайдуллин А.Т. Дисс. ... докт. хим. наук. Казань: ИОФХ им. А.Е. Арбузова КазНЦ РАН, 2005.
- 73. Morris D.J., Clarkson G.J., Wills M. (2009). Insights into Hydrogen Generation from Formic Acid Using Ruthenium Complexes. *Organometallics*, 28(14), 4133–4140. http://dx.doi.org/10.1021/om900099u.
- 74. Hetterscheid D.G.H., De Bruin B. (2006). Open-shell rhodium and iridium species in (catalytic) oxygenation reactions. *J. Mol. Catalysis A: Chem.*, 251(1–2), 291–296. https://doi.org/10.1016/j.molcata.2006.02.009.
- 75. Moszner M. (2004). Water replacement on decaaqua-di-rhodium(II)-cation; synthesis of superoxo and peroxo rhodium(III) complexes with N-donor ligands. *Inorg. Chim. Acta*, 357. 3613–3620. https://doi.org/10.1016/j.ica.2004.04.021.
- 76. Wayland B.B., Newman A.R. (1981). Dioxygen and Nitric Oxide Complexes of Rhodium Porphirins. *Inorg. Chem.*, 20 (9), 3093–3097. https://doi.org/10.1021/ic50223a067.
- 77. Raynor J.B., Gillard, R.D., Pedrosa de Jesus J.D. (1982). Paramagnetic Dioxygen Complexes of Rhodium. *J. Chem. Soc. Dalton Trans.*, (6), 1165–1166. https://doi.org/10.1039/DT9820001165.
- 78. Wayland B.B., Newman A.R. (1979). Dioxygen Complexes of Rhodium Porphirins. *J. Am. Chem. Soc.*, 101 (21), 6472–6473. https://doi.org/10.1021/ja00515a073.
- 79. Vaska L. (1976). Dioxygen–Metal Complexes: Toward a Unified View. *Acc. Chem. Res.*, *9*(5), 175–183. https://doi.org/10.1021/ar50101a002.
- 80. Martin P.S. Webb T.R., Robbins, G.A., Fanwick, R. E. (1979). Polarized Electronic Absorption Spectra for Dirhodium (II) Tetraacetate Dihydrate. *Inorg. Chem.*, 18(2), 475–478.
- 81. Kataoka Y., Kitagawa Y., Saito T., Nakanishi Y., Sato K., Miyazaki Y. (2011). Theoretical study of absorption spectrum of dirhodium tetracarboxylate complex [Rh₂(CH₃COO)₄(H₂O)₂] in aqueous solution revisited. *Supramolecular Chemistry*, 23(3–4), 329–336. https://doi.org/10.1080/10610278.2010.534553.
- 82. Zhang X.X., Wayland B.B. (2000). Sterically Demanding Diporphyrin Ligands and Rhodium(II) Porphyrin Bimetalloradical Complexes. *Inorg. Chem.*, *39*(23), 5318–5325. https://doi.org/10.1021/ic0006302.

References:

- 1. Takano, Sh., Kochi, T., Kakiuchi, F. (2016). Synthesis and Reactivity of Phosphine-Quinolinolato Rhodium Complexes: Intermediacy of Vinylidene and (Amino)carbene Complexes in the Catalytic Hydroamination of Terminal Alkynes. *Organometal.*, *35*(24), 4112–4125. https://doi.org/10.1021/acs.organomet.6b00853.
- 2. Farrell, N.P. (2015). Multi-Platinum Anticancer Agents. Substitution-Inert Compounds for Tumor Selectivity and New Targets. *Chem. Soc. Rev., 44,* 8773–8785. https://doi.org/10.1039/c5cs00201j.
- 3. Palmer, A.M., Knoll, J.D., Turro, Cl. (2015) Photoinduced interactions of two dirhodium complexes with d(GTCGAC)₂ probed by 2D NOESY. *Dalton Trans.*, 44 (8), 3640–3646. https://doi.org/10.1039/C4DT03119A.
- 4. Chepaikin, E.G. (2011). Homogeneous catalysis in the oxidative functionalization of alkanes in protic media. *Rus. Chem. Rev.*, 80 (4), 384–416 (in Russ.) https://doi.org/10.1070/RC2011v080n04ABEH004131.
- 5. Knyazeva, I.R, Burilov, A.R., Pudovik, M.A., Habicher, W.D. (2013). Phosphorus-containing macrocyclic compounds: synthesis and properties. *Russ. Chem. Rev.*, 82(2), 150–186 (in Russ.). https://doi.org/10.1070/RC2013v082n02ABEH004296.
- 6. Jain, V.K., Kanaiy, P.H. (2011). Chemistry of calyx[4]resorcinarenes. *Russ. Chem. Rev.*, 80(1), 77–106 (in Russ.). https://doi.org/10.1070/RC2011v080n01ABEH004127.
- 7. Yakshin, V.V., Vilkova, O.M., Pluzhnik-Gladyr, S.M., Kotlyar, S.A (2010). Crown Ethers in Extraction and Sorption. I. Bromoderivatives of Benzo- and Dibenzocrown Ethers in the Sorption Processes of Elements from Acidic Water Solutions. *Macroheterocycles*, *3*(2-3), 114–120.
- 8. Gromov, S.P., Dmitrieva, S.N., Churakova, M.V. (2005). Phenylaza and benzoazacrown-compounds with a nitrogen atom conjugated with a benzene ring. *Rus. Chem. Rev.*, 74(5), 503–532 (in Russ.). https://doi.org/10.1070/RC2005v074n05ABEH001163.
- Antipin, I.S., Alfimov, M.V., Arslanov, V.V., Burilov, V.A., Vatsadze, S.Z., Voloshin, Ya.Z., Volcho, K.P., Gorbatchuk, V.V., Gorbunova, Yu.G., Gromov, S. P., Dudkin, S.V., Zaitsev, S.Yu., Zakharova, L.Ya., Ziganshin, M.A., Zolotukhina, A.V., Kalinina, M.A., Karakhanov, Ed. A. Kashapov, R.R., Koifman, O.I., Konovalov, A.I., Korenev, V.S., Maksimov, A.L., Mamardashvili, N.Zh., Mamardashvili, G.M., Martynov, A.G., Mustafina A.R., Nugmanov R.I., Ovsyannikov, A.S., Padnya, P.L., Potapov, A.S., Selektor, S.L., Sokolov, M.N., Solovieva, S.E., Stoikov I.I., Stuzhin, P.A., Suslov, E.V., Ushakov, E.N., Fedin, V.P., Fedorenko, S.V., Fedorova, O.A., Fedorov, Yu.V., Chvalun, S.N., Tsivadze, A.Yu., Shtykov, S.N., Shurpik, D.N., Shcherbina, M.A., Yakimova, L.S. (2021). Functional supramolecular systems: design and applications. *Russ. Chem. Rev.*, 90(8), 895–1107 (in Russ.). https://doi.org/10.1070/RCR5011.
- 10. Bauder, C., Sémeril, D. (2019). Styrene hydroformylation with cavity-shaped ligands. *J. Eur. Inorg. Chem.*, 2019 (47), 4951–4965. https://doi.org/10.1002/ejic.201900974.
- 11. Chavagnan, T. Bauder, C., Semeril, D., Matt, D., Toupet, L. (2017). Substrate-Selective Olefin Hydrogenation with a Cavitand-Based Bis(N-anisyl iminophosphorane). *Eur. J. Org. Chem.*, 2017 (1), 70–76. https://doi.org/10.1002/ejoc.201601125.
- 12. Garcia-Simon, C., Gramage-Doria, R., Raoufmoghaddam, S., Parella, T., Costas, M., Ribas, X., Reek, J. N. H. (2015). Enantioselective Hydroformylation by a Rh-Catalyst Entrapped in a Supramolecular Metallocage. *J. Am. Chem. Soc.*, *137*(7), 2680–2687. https://doi.org/10.1021/ja512637k.
- 13. Glushko, V.N., Blokhina, L.I., Zhila, M.Yu. (2019). Synthesis of macroheterocycic compounds and their analogues derived from crown ethers and their application for selective extraction for radionuclidewaste. *Chemical Safety Science*, *3*(1), 49–55 (in Russ.). https://doi.org/10.25514/CHS.2019.1.15003.

- 14. Torgov, V.G., Kostin, G.A., Mashukov, Korda, T.M., Drapailo, A.B., Kas'yan, O.V., Kalchenko, V.I. (2008). Palladium(II) extraction by sulfur-containing calix[4,6]arenes from hydrochloric acid solutions. *Russ. J. Inorg. Chem.*, *53*, 1809–1815. https://doi.org/10.1134/S0036023608110235.
- 15. Guseva, E.V., Fesik, E.V., Potapova, A.V. (2022). Catalytic Activity of Supramolecular Dimethylamine- and Diphenylphosphine-Containing Rh^{III} Peroxodichloro-Complexes on the Example of Studying the Kinetics of Homogeneous Dehydrogenation of Formic Acid. *Macroheterocycles*, *15*(*3*), 195–203. https://doi.org/10.6060/mhc224591g.
- 16. Guseva, E.V., Sokolova, A. V., Saifutdinov, A. M., Naumova, A.A., Polovnyak, V. K. (2012). Kinetics of Homogeneous Dehydrogenation of Formic Acid in the Presence of Supramolecular Rhodium(III) Complex with P-Functionalized Calix[4]resorcine. *Rus. J. Gen. Chem.*, 82(5), 827–834. https://doi.org/10.1134/S1070363212050040.
- 17. Brodsky, B.H., Du Bois, J. (2006). Entrapment of a dirhodium tetracarboxylate unit inside the aromaticbowl of a calix[4]arene: Unique catalysts for C-H amination? *Chem. Commun.*, 4715–4717. https://doi.org/10.10391b611280c.
- 18. Guseva, E.V., Davletshina, L.F., Idiyatullova, Z.Z. (2019, March). Study of the 2-hydroxy-ethoxy derivative of calix[4]resorcinol in reactions with RhCl₃·nH₂O, H₂PtCl₆·nH₂O and PtCl₄. *Trends in the development of science and education, part 6*(48), 63–67 (in Russ.). https://doi.org/10.18411/lj-03-2019-130.
- 19. Guseva, E.V., Buslaeva, T.M., Polovnyak, V. K. (2016). Rhodium Complexation with Phosphoryl-Containing Calix[4]resorcine. *Rus. J. Inorg. Chem.*, 61(11), 1436–1444. https://doi.org/10.1134/S0036023616110085.
- 20. Guseva, E.V., Buslaeva, T.M., Grishin, E.I. (2016). Complexation of dirhodium(II) with *N*-functionalized calix[4]resorcinarenes. *Rus. Chem. Bull.*, *65*, 2485–2493. https://doi.org/10.1007/s11172-016-1611-9.
- 21. Guseva, E.V., Potapova, A.V. (2013). Interaction of P-functionalized calix[4]resorcinol with salts of various 4d- and 5d-metals. *Bull. Kazan Technological University*, *16* (13), 21-27 (in Russ.).
- 22. Guseva, E.V., Naumova, A.A., Karimova, D.T., Sokolova, A.V., Gavrilova, E.L., Busygina, T.E. (2012). Reaction of Rhodium Trichloride and Dirhodium(II) Acetate with *trans*-4,4'-Bis(diethoxyphosphoryl)biphenyl-18-crown-6. *Rus. J. Gen. Chem.*, 82(1), 1–8. https://doi.org/10.1134/S107036321201001X.
- 23. Guseva, E.V., Morozov, V.I., Zinkicheva, T.T., Voloshina, A.D., Grishin, E. I. (2012). Complexes of Rhodium(III) with N-Functionalized Calix[4]Resorcinolol. *Rus. J. Gen. Chem. 82* (8), 1233–1243. https://doi.org/10.1134/S1070363212080014.
- 24. Guseva, E.V., Morozov, V.I., Gavrilova, E.L., Shatalova, N.I., Grishin, E.I. (2011). Interaction of Rhodium Trichloride with N-Functionalized Calix[4]resorcinol in Acetone. *Rus. J. Gen. Chem.*, 81 (10), 2039–2044. https://doi.org/10.1134/S107036321110001X.
- 25. Guseva, E.V., Kasymova, E.M., Egorov, G.V., Kayupov, A.R., Khamatgalimov, A.R., Khasanshin, R. A., Burilov, A. R. (2010). Reaction of Rhodium Trichloride with Oxyethylated Calix[4]resorcinarene. *Russian Journal of General Chemistry*, 80(3), 478–484. https://doi.org/10.1134/S1070363210030199.
- 26. Guseva, E.V., Karimova, D.T., Morozov, V.I., Gavrilova, E.L., Naumova, A.A, Polovnyak, V.K., Krasil'nikova, E.A. (2010). Reaction of Rhodium Trichloride with P-Functionalized Calix[4]resorcinols in Various Media. *Rus. J. Gen. Chem.*, 80(1), 47–59. https://doi.org/10.1134/S1070363210010081.
- 27. Guseva, E.V., Karimova, D.T., Polovnyak, V.K., Egorov, G.V., Gavrilova, E.L., Shatalova, N.I., Morozov, V.I. (2009). Complexes of dirhodium(II) with calix[4]resorcinols functionalized at the lower and upper rim of the molecule with various N-containing fragments. *Bull. Kazan Technological University*, (5), 288–295 (in Russ.).
- 28. Guseva, E.V., Gavrilova, E.L., Naumova, A.A, Morozov, V.I., Shatalova, N.I., Karimova, D.T., Polovnyak, V.K. (2008). Complexes of Dirhodium(II) Carboxylates with Calix[4]resorcinarenes

- Functionalized at the Upper and Lower Rim of the Molecule with P,N-containing Fragments. *Rus. J. Gen. Chem.*, 78(12), 2308–2316. https://doi.org/10.1134/S1070363208120049.
- 29. Guseva, E.V., Karimova, D.T. (2008). Complex Formation of Rhodium(II) Carboxylate with cis-Dinitrodibenzo-18-crown-6 and cis-Diaminodibenzo-18-crown-6 in Ethanol. *Rus. J. Gen. Chem.*, 78 (1), 146–147. https://doi.org/10.1134/S1070363208010258.
- 30. Naumova, A.A., Guseva, E.V., Gavrilova, E.L., Shatalova, N.I., Karimova, D. T., Krasilnikova E. A. (2007). Study of complex formation of rhodium trichloride with calix[4]resorcinols functionalized along the upper and lower rims with P,N containing fragments. *Bull. Kazan Technological University*, (3-4), 32–36 (in Russ.).
- 31. Lever, A.B. P. (1987). *Inorganic Electronic spectroscopy: in 2 volumes*. Amsterdam-Oxford-New York-Tokyo: Elsevier.
- 32. Nakamoto, K. (2009). Infrared and Raman Spectra of Inorganic and Coordination Compounds, P. B: Applications in Coordination, Organometallic and Bioinorganic Chemistry. New York: Wiley.
- 33. Konovalov, L.V. (1984). Spectral and structural study of metal-chlorine stretching vibrations in complex compounds of platinum metals (Os, Ir, Ru, Rh). *Coordination chemistry*, 10(10), 1401–1406 (in Russ.).
- 34. Legzdins, P., Mitchell, R.W., Rempel, G.L. (1970). The protonation of Ruthenium and Rhodium bridged carboxylates and their use as homogeneous hydrogenation catalysts for unsaturated substaces. *J. Chem.Soc. A*, (3), 3322–3326. https://doi.org/10.1039/J19700003322.
- 35. Kayupov, A.R., Kasymova, E.M., Burilov, A.R., Pudovik, M.A. New Polyethers on the Calix[4]resorcinarene Platform. *Rus. J. Gen. Chem.*, 78(1), 364–365. https://doi.org/10.1134/S1070363210020295.
- 36. HyperChem (Release 7.01 for Windows). Molecular Modeling System. (2002). Hypercube, Inc.
- 37. Gavrilova, E.L., Naumova, A.A., Burilov, A.R., Pudovik, M.A., Krasilnikova, E.A., Konovalov, A.I. (2007). Synthesis of calix[4]resorcinarenes with phosphorylaryl substituents at the lower rim of the molecule. *Russ. Chem. Bull.*, *56*, 2348–2350. https://doi.org/10.1007/s11172-007-0371-y.
- 38. Naumova, A.A., Gavrilova, E.L., Khodalova, K.O., Guseva, E.V., Krasil'nikova, E.A., Petrova, M.A. (2009). Synthesis of 4,4'-Bis(dialkoxyphosphoryl)biphenyl-18-crown-6. *J. Rus. Gen. Chem.*, 79(8), 1762–1764. https://doi.org/10.1134/S1070363209080349.
- 39. Yatsimirsky, K.B., Kolchinsky, A.G., Pavlishchuk, V.V., Talanova, G.G. (1987). *Synthesis of macrocyclic compounds*. Kyiv: Nauk. Dumka, pp. 147–197 (in Russ.).
- 40. Shatalova, N.I, Gavrilova, E.L., Sidorov, N.A., Burilov, A.R., Pudovik, M.A., Krasilnikova, E.A. Konovalov, A.I. (2009). Calix[4]resorcinols Functionalized with Amino Acid Residues *Rus. J. Gen. Chem.*, 79 (7), 1494–1498. https://doi.org/10.1134/S1070363209070159.
- 41. Shatalova, N.I., Sidorov, N.A., Gavrilova, E.L., Krasilnikova, E.A. (2007). Synthesis of aminomethylated calix[4]resorcinols. *Bull. Kazan Technological University*, (3-4), 41–43 (in Russ.).
- 42. Brown, D., Floyd, A., Sainsbury, M. (1992). Organic Spectroscopy. John Wiley & Sons, Ltd.
- 43. Potapov, V.M. (1988). Stereochemistry. Moscow: Chemistry (in Russ.).
- 44. Guseva, E.V., Idiyatullova, Z.Z., Davletshina, L.F. (2019). Study of the ligand properties of crown ethers (18-crown-6 and dibenzo-18-crown-6) upon interaction with RhCl3·nH2O in aprotic and protic solvents. *Trends in the development of science and education, part 6*(48), 59–62 (in Russ.). https://doi.org/10.18411/lj-03-2019-130.
- 45. Guseva, E.V., Sakhno, T.V., Kutlakhmetova, A.R., Fesik E.V. (2022). Evaluation of bactericidal and antioxidant properties of functionalized calix[4]resorcinols and of rhodium complexes based on them. *Chemical Safety Science*, *6*(1), 106–131 (in Russ.). https://doi.org/10.25514/CHS.2022.1.21007.
- 46. Hudson, R F. (1965). *Structure and mechanism in* organo-phosphorus chemistry. London–New York: Academic Press.

- 47. Belyaev, A.V. Fedotov, M.A., Korsunsky, V.I., Venediktov, A.B., Khranenko, S.P. (1984). On the structure of polynuclear rhodium(III) chlorides. *Coordination Chemistry*, 10(7), 911–918. (in Russ.).
- 48. Belyaev, A.B., Venediktov, A.B., Khranenko, S.P. (1983) On the nature of rhodium chlorides. *Coordination Chemistry*, *9*(1), 120–129 (in Russ.).
- 49. Shagidullin, R.R., Chernova, A.V. Vinogradova, V.S. (1984). *Atlas of IR spectra of organophosphorus compounds*. Moscow: Science (in Russ.).
- 50. Nifantiev, E.V., Vasyanina, L.K. (1987). ³¹P NMR spectroscopy. Moscow: Printing house Mosk. State Ped. Institute named after IN AND. Lenin (in Russ.).
- 51. Yanilkin, V.V., Ryzhkina, I.S., Nastapova, N.V., Pashirova, T.N., Babkina, Y.A., Burilov, A.R., Morozov, V.I., Konovalov, A.I. (2003). Single-electron oxidation and nucleophilicity of aminomethylated calix[4]resorcinarenes. *Russ. Chem. Bull.*, *52*, 1142–1149. https://doi.org/10.1023/A:1024713408780.
- 52. Rotov, A.V., Zhilyaev, A.N. Baranovsky, I.B., Larin, G M. (1989). Effect of ligands on the electronic structure of β-diketonate complexes of RhII according to ESR data. *J. Inorg. Chem.*, *34*(7), 1899–1901 (in Russ.).
- 53. Abakumov, G.A., Cherkasov, V.K., Bubnov, M.P. Abakumova, L.G., Zakharov, L.N., Fokin, G.K. (1999). New semiquinone-catecholate rhodium complex with 2,2'-dipyridyl. *Russ. Chem. Bull.48* (9), 1762–1766. https://doi.org/10.1007/BF02494826.
- 54. Vrielinck, H., Sabbe, K., Callens, F., Matthys, P. (2001). Detection of charge compensating cation vacancies near Rh²⁺ complexes in AgCl and NaCl using Q-band ENDOR. *Phys. Chem. Chem. Phys.*, 3 (9), 1709–1716. https://doi.org/10.1039/b008244i.
- 55. Cotton, F.A., Murillo, C.A., Wolton R.A. (2005). *Multiple Bonds Between Metal Atoms*. New York: Springer Science and Business Media. P. 465–567, P. 707–796.
- 56. Kawamura, T., Katayama H., Nishikawa, H., Yamabe, T. (1989). Ligand dependence of electronic configuration of the Rh-Rh bond in Rh₂⁵⁺ complexes as studied by electron spin resonance and electrochemistry. *J. Am. Soc.*, 111 (21), 8156–8160. https://doi.org/10.1021/ja00203a015.
- 57. Kawamura, T., Fukamachi, K., Soba, T., Hayashida, S., Yonezawa, T (1981). Electronic structure of Rh-Rh bond in Rh₂(O₂CR)₄(PY₃)₂ by electron spin resonance study of their cation radicals. *J. Am. Chem. Soc.*, 103 (2), 364–369. https://doi.org/10.1021/ja00392a021.
- 58. Kadish, K.M., Phan, T.D., Giribabu, L., Caemelbecke, E.V., Bear, J.L. (2003). Substituent and isomer effects on structural, spectroscopic, and electrochemical properties of dirhodium(III, II) complexes containing four identical unsymmetrical bridging ligands. *Inorg. Chem.*, 42(26), 8663–8673. https://doi.org/10.1021/Ic034963L.
- 59. Sizova, O.V., Ivanova, N.V. (2006). Electronic structure and spectra of rhodium(II) tetracarboxylate complexes. *Rus. J. Coord. Chem.*, 32(6), 444–450. https://doi.org/10.1134/S107032840606008X.
- 60. Bradley, M.P., Bursten, E.B., Turro, C. (2001). Excited-State Properties of $Rh_2(O_2CCH_3)_4(L)_2$ (L = CH_3OH , THF, PPh_3 , Py). *Inorg. Chem.*, 40(6), 1376-1379. https://doi.org/10.1021/ic0009573.
- 61. Belsky, V.K., Bulychev, B.M. (1999). Structural and chemical aspects of complex formation in the metal halide–macrocyclic polyether systems. *Rus. Chem. Rev.*, 68(2), 136–153. https://doi.org/10.1070/RC1999v068n02ABEH000459.
- 62. Barannikov, V.P., Guseinov, S.S., V'ugin, A.I. (2002). Molecular complexes of crown ethers in crystal and solutions. *Rus. J. Coord. Chem.*, 28(3), 153–162. https://doi.org/10.1023/A:1014729400394.
- 63. Steinborn, D., Gravenhorst, O., Hartung, H., Baumeister, U. (1997). Synthesis, Reactivity, and Structure of [H₁₃O₆][PtCl₅(H₄O₂)]·2(18CR6): a crown ether complex of pentachloroaquaplatinic acid with an [H₁₃O₆]⁺ cation in cage of three crown ether molecules. *Inorg. Chem. 36*(10), 2195–2199. https://doi.org/10.1021/ic9614780.

- 64. Guseva, E.V. Buslaeva, T.M., Grishin, E.I., Zinkicheva, T.T. (2015). Influence of Solvents on Protolytic and Aggregation Properties of Aminomethylated Calix[4]resorcine. *Macroheterocycles*, 8 (4), 415–423. https://doi.org/10.6060/mhc151081g.
- 65. Guseva, E.V., Grishin, E.I., Grishin, P.V. (2015). Aggregation properties of N-functionalized calix[4]resorcinol in ethanol. *Bulletin of the Technological University*, 18 (20), 36-37 (in Russ.).
- 66. Guseva, E.V., Grishin, E.I., Sitalo, A.V. (2015). Study of self-organization of amino-containing calix[4]resorcinol by conductometry. *Bulletin of the Technological University*, 18(20), 45–46 (in Russ.).
- 67. Guseva, E.V., Grishin, E.I., Potapova, A.V., Grishin, P.V. (2015). Study of the aggregation properties of amino-containing calix[4]resorcinol using dynamic light scattering. *Bulletin of the Technological University*, 18(20), 41–42 (in Russ.).
- 68. Konovalov, A.I., Antipin, I.S., Mustafina, A.R., Solovyova, S.E., Podyachev, S.N. (2004). Design and Ionophore Properties of Some Macrocyclic Calixarene-Based Ligands. *Rus. J. Coord. Chem.* 30(4). 227–244. http://dx.doi.org/10.1023/B:RUCO.0000022798.77325.c3.
- 69. Peter, F., Gross, M., Hosseini, M.W., Sessions, R.B. (1981). Redox properties and stability constants of anion complexes. An electrochemical study of the complexation of metal hexacyanide anions by polyammonium macrocyclic receptor molecules. *J. Chem. Soc. Chem. Commun.*, (20), 1067–1068. https://doi.org/10.1039/C39810001067.
- 70. MacNicol, D.D., MacKendrick, J.J., Wilson, D.R. (1978). Clathrates and molecular inclusion phenomena. *Chem.Soc.Rev.*, 7(1), 65–87. https://doi.org/10.1039/CS9780700065.
- 71. Xu, W., Rourke, J.P., Vittal, J.J., Puddephatt, R.J. (1993). Anion inclusion by a calix[4]arene complex: A contrast between tetranuclear gold(I) and copper(I) complexes. *J. Chem. Soc.*, *Chem. Commun.*, (2), 145-147. https://doi.org/10.1039/C39930000145.
- 72. Gubaidullin, A.T. (2005). *Amphiphilic properties and crystal packing of small molecules of organic compounds* (Doctoral dissertation). Kazan: Institute of Organic and Physical Chemistry named after. A.E. Arbuzov Kazan Scientific Center of the Russian Academy of Sciences (in Russ.).
- 73. Morris, D.J., Clarkson, G.J., Wills, M. (2009). Insights into Hydrogen Generation from Formic Acid Using Ruthenium Complexes. *Organometallics*, 28(14), 4133–4140. http://dx.doi.org/10.1021/om900099u.
- 74. Hetterscheid D.G.H., De Bruin B. (2006). Open-shell rhodium and iridium species in (catalytic) oxygenation reactions. *J. Mol. Catalysis A: Chem.*, 251(1–2), 291–296. https://doi.org/10.1016/j.molcata.2006.02.009.
- 75. Moszner, M. (2004). Water replacement on decaaqua-di-rhodium(II)-cation; synthesis of superoxo and peroxo rhodium(III) complexes with N-donor ligands. *Inorg. Chim. Acta, 357*. 3613–3620. https://doi.org/10.1016/j.ica.2004.04.021
- 76. Wayland, B.B., Newman, A.R. (1981). Dioxygen and Nitric Oxide Complexes of Rhodium Porphirins. *Inorg. Chem.*, 20(9), 3093–3097. https://doi.org/10.1021/ic50223a067.
- 77. Raynor, J.B., Gillard, R.D., Pedrosa de Jesus, J.D. (1982). Paramagnetic Dioxygen Complexes of Rhodium. *J. Chem. Soc. Dalton Trans.*, (6), 1165–1166. https://doi.org/10.1039/DT9820001165.
- 78. Wayland, B.B., Newman, A.R. (1979). Dioxygen Complexes of Rhodium Porphirins. *J. Am. Chem. Soc.*, 101(21), 6472–6473. https://doi.org/10.1021/ja00515a073.
- 79. Vaska, L. (1976). Dioxygen–Metal Complexes: Toward a Unified View. *Acc. Chem. Res.*, *9*(5), 175–183. https://doi.org/10.1021/ar50101a002.
- 80. Martin, P.S. Webb, T.R., Robbins, G.A., Fanwick, R.E. (1979). Polarized Electronic Absorption Spectra for Dirhodium (II) Tetraacetate Dihydrate. *Inorg. Chem.*, 18(2), 475–478.
- 81. Kataoka, Y., Kitagawa, Y., Saito, T., Nakanishi, Y., Sato, K., Miyazaki, Y. (2011). Theoretical study of absorption spectrum of dirhodium tetracarboxylate complex [Rh₂(CH₃COO)₄(H₂O)₂] in aqueous solution revisited. *Supramolecular Chemistry*, 23(3–4), 329–336. https://doi.org/10.1080/10610278.2010.534553.

СРАВНИТЕЛЬНАЯ ОЦЕНКА СОСТАВА И СВОЙСТВ СОЕДИНЕНИЙ РОДИЯ

82. Zhang, X.X., Wayland, B.B. (2000). Sterically Demanding Diporphyrin Ligands and Rhodium(II) Porphyrin Bimetalloradical Complexes. *Inorg. Chem.*, *39*(23), 5318–5325. https://doi.org/10.1021/ic0006302.